

Министерство высшего образования и науки РФ
Санкт–Петербургский политехнический университет Петра Великого
Институт компьютерных наук и кибербезопасности
Высшая школа компьютерных технологий и информационных систем

Курсовой проект
Управление перевернутым маятником
по дисциплине «Теория автоматического управления»
Вариант 11.4

Выполнил:

студент группы 5130902/20201

_____ А. И. Сафонов
подпись

Проверил:

ассистент

_____ В. В. Кравченко
подпись

« ____ » _____ 2024

Санкт-Петербург
2024

Оглавление

Элементы оглавления не найдены.

1. УПРАВЛЯЕМОСТЬ И НАБЛЮДАЕМОСТЬ

1.1. Управление и управляемость

В большинстве заданий для курсовой работы вектор управления u раскладывается на два компонента: управляющее воздействие и возмущающее воздействие:

$$u = \begin{pmatrix} u_{\text{упр}} \\ v_{\text{возм}} \end{pmatrix}. \quad (1.1.1)$$

Управляющее воздействие – это когда, например, вы поворачиваете ручку управления, и ваш генератор начинает выдавать большее или меньшее напряжение.

Основная задача: перевод САУ из одного состояния в другое. Естественно, идеального перехода достичь почти невозможно, поэтому вводят целевое условие:

$$e(t) = y_{\text{зад}} - y(t) \xrightarrow{t \rightarrow +\infty} 0, \quad (1.1.2)$$

где $y_{\text{зад}}$ – заданное значение выхода, а $e(t)$ называют динамической ошибкой САУ.

Возмущающим воздействием наоборот управлять нельзя, тем не менее оно способно менять состояние системы вплоть до потери устойчивости. В нашем примере это может быть нагрузка, к которой подключён генератор. Возмущающее воздействие действует всегда или периодически, но главное, что мы не можем на него повлиять, но можем компенсировать: как раз с помощью управляющего воздействия.

Давайте введём понятие управляемости и критерий Калмана с уже знакомой нам матрицей управляемости. Управляемость, вообще говоря, – существование управления, т.е. такого ограниченного воздействия, которое переводит САУ из одного состояния в другое за конечное время. Чтобы удостовериться в существовании такого управления, используют критерий Калмана: линейная система вполне управляема тогда и только тогда, когда матрица управляемости

$$S_y = (B \ AB \ A^2B \ \dots \ A^{n-1}B) \quad (1.1.3)$$

имеет ранг, равный n , т.е. равный размерности вектора состояния.

Процесс поиска управления называется синтезом управления и заключается в построении регулятора, который превращает ошибку (1.1.2) в управляющее воздействие $u_{\text{упр}}$.

Синтез управления можно вести и без выполнения критерия Калмана, но заранее гарантировать адекватность такого управления нельзя.

$$S_y = \begin{bmatrix} 0 & 0.00289017 & 0 & 0.000218516899375 \\ 0 & -0.00192678 & 0 & -0.012746819132146 \\ 0.00289017 & 0 & 0.000218516899375 & 0 \\ -0.00192678 & 0 & -0.012746819132146 & 0 \end{bmatrix}, (1.1.4)$$

S_{dy}

$$= 10^{-3} \begin{bmatrix} 0.033126 & 0.09943500823337 & 0.165925774364684 & 0.232750222949245 \\ -0.021975 & -0.069285975527 & -0.127199503541738 & -0.204577852685763 \\ 0.43842 & 0.4391924194435 & 0.440855443576679 & 0.443663558217948 \\ -0.29444 & -0.33949782907 & -0.436507610011277 & -0.600314354994152 \end{bmatrix}.$$

Посчитаем ранг этих матриц с помощью функции встроенной в Matlab `rank()`. Ранг S_y и S_{dy} матриц равен четырем.

```
rank_S_y =
```

```
4
```

```
rank_Sd_y =
```

```
4
```

Рис. 1 – Ранг матриц управляемости непрерывной и дискретной систем

Ранг матрицы управляемости непрерывной и дискретной системы равен размерности вектора состояния (равен 4). Тогда можно сделать вывод об управляемости исследуемых систем.

1.2. Наблюдение и наблюдаемость

Задача восстановить вектор состояния x по измерениям векторов входа u и выхода y . Это и есть наблюдение, откуда выходят понятие наблюдаемости: получение по векторам u и y , а также их производных, такой оценки \tilde{x} , что

$$\lim_{t \rightarrow +\infty} \tilde{x}(t) = x(t), \left| \lim_{t \rightarrow +\infty} \tilde{x}_k(t) = x_k(t), \right. \quad (1.2.1)$$

и критерий наблюдаемости: линейная система вполне наблюдаема тогда и только тогда, когда матрица наблюдаемости

$$S_y = (C^T A^T C^T (A^T)^2 C^T \dots (A^T)^{n-1} C^T) \quad (1.2.2)$$

имеет ранг, равный n , т.е. равный размерности вектора состояния.

Если система наблюдаема, то можно построить так называемый наблюдатель, который на выходе будет давать оценку \tilde{x} . Как и в случае с управляемостью, можно построить наблюдатель и без выполнения критерия наблюдаемости, но гарантировать его адекватность нельзя.

$$S_H = \begin{bmatrix} 1 & 0 & 0 & 0 \\ 0 & 0 & -0.1134104046 & 0 \\ 0 & 1 & 0 & 0 \\ 0 & 0 & 0 & -0.1134104046 \end{bmatrix} \quad (1.1.4)$$

$$S_{dH} = \begin{bmatrix} 1 & 1 & 1 & 1 \\ 0 & -0.00131165 & -0.005447316496378 & -0.013039863610896 \\ 0 & 0.1511355 & 0.302271 & 0.4534065 \\ 0 & -0.00006574791 & -0.000538030718233 & -0.001885593725024 \end{bmatrix}$$

Посчитаем ранг этих матриц с помощью функции встроенной в Matlab `rank()`. Ранг S_H и S_{dH} матриц равен четырем.

```
rank_S_H =
```

```
4
```

```
rank_Sd_H =
```

```
4
```

Рис. 2 – Ранг матриц наблюдаемости непрерывной и дискретной систем

Ранг матрицы наблюдаемости непрерывной и дискретной системы равен размерности вектора состояния (равен 4). Тогда можно сделать вывод об наблюдаемости исследуемых систем.

Код программы для расчета матриц наблюдаемости и управляемости представлен на рисунке 3.

```

kalman.m*  disk_model.m  +
1 - format long
2 - A=[0 0 1 0;0 0 0 1;0 -0.1134104046 0 0;0 6.615606936 0 0];
3 - b=[0; 0; 0.00289017; -0.00192678];
4 - C=[1 0 0 0];d=0;
5 - Ad = [
6     1.0, -0.00131165, 0.1511355, -0.00006574791;
7     0, 1.076513, 0, 0.1549708;
8     0, -0.0175753, 1.0, -0.00131165;
9     0, 1.025226, 0, 1.076513;
10 ];
11 - bd = [
12     0.000033126;
13     -0.000021975;
14     0.00043842;
15     -0.00029444
16 ];
17 - Cd=[1 0 0 0];D=0;
18
19 - S_y = [b, A*b, A^2*b, A^3*b]
20 - Sd_y = [bd, Ad*bd, Ad^2*bd, Ad^3*bd]
21 - rank_S_y = rank(S_y)
22 - rank_Sd_y = rank(Sd_y)
23 - S_H = [C', A'*C', A'^2*C', A'^3*C']
24 - Sd_H = [Cd', Ad'*Cd', Ad'^2*Cd', Ad'^3*Cd']
25 - rank_S_H = rank(S_H)
26 - rank_Sd_H = rank(Sd_H)

```

Рис. 3 – Код программы в MATLAB

2. Модальное управление

2.1. Теория

Задача размещения полюсов передаточной матрицы линейной системы (задача размещения спектра матрицы замкнутого контура в заданной области комплексной плоскости) является классической задачей теории автоматического управления. Формирование желаемого спектра путем введения обратной связи позволяет скорректировать динамические свойства и обеспечить заданные прямые показатели качества.

Для начала необходимо разбить входной вектор u на две компоненты:

$$u = \begin{pmatrix} u_y \\ v_b \end{pmatrix} \quad (2.1.1)$$

где u_y – управляющее воздействие, v_b – возмущающее воздействие.

Необходимо найти стабилизирующий регулятор:

$$u(x) = -k_p x \quad (2.1.2)$$

такой, что спектр замкнутой системы (схема замкнутой системы представлена на рисунке 4):

$$\dot{x} = (A - Bk_p)x = A_z x \quad (2.1.3)$$

совпадает или является подмножеством предписываемого спектра, задаваемого последовательностью $\lambda^{\text{уст}}_i = \lambda^{\text{уст}}_1 \dots \lambda^{\text{уст}}_n$:

$$\rho(A_z) \subseteq \rho(-F) \quad (2.1.4)$$

Здесь $F = \text{diag}(\lambda^{\text{уст}}_i)_1^n \in R^{n \times n}$ – матрица, на главной диагонали которой расположены числа $\lambda^{\text{уст}}_i$.

Задача нахождения регулятора k_p сводится к решению матричного уравнения Сильвестра:

$$AP + PF = BG \quad (2.1.5)$$

Относительно матрицы P с произвольной матрицей G и решению матричного уравнения:

$$k_p P = G \quad (2.1.6)$$

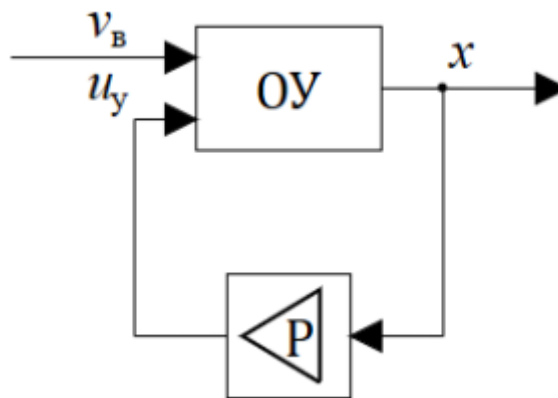


Рис. 4. Замкнутая САУ

Для динамической системы условия существования решения задачи размещения полюсов и методика синтеза содержатся в следующей теореме.

Теорема. Пусть для системы выполнены следующие условия:

- 1) Матрица $G \in R^{m \times n}$ полного ранга: $\text{rank} G = \min(m, n)$;
- 2) Матричная пара (A, B) управляема;
- 3) Матричная пара (G, F) наблюдаема;
- 4) Спектры матриц F и A не пересекаются: $\rho(A) \cap \rho(F) = \emptyset$;
- 5) Числа $\lambda^{\text{уст}}_i (i = \overline{1, n})$ попарно различны.

Тогда существует управление такое, что матрица замкнутого контура $A_z = A - Bk_p$ имеет спектр, совпадающий со спектром эталонной матрицы $(-F)$, то есть выполнено $\rho(A_z) = \rho(-F)$.

Параметры регулятора определяются из соотношения $k_p P = G$, где матрица P – решение уравнения Сильвестра.

2.2. Выбор параметров

Пусть собственные числа $\lambda^{\text{уст}}$ будут следующими:

$$\lambda^{\text{уст}} = \begin{pmatrix} -1 \\ -2 \\ -1.5 \\ -0.5 \end{pmatrix}, \lambda_d^{\text{уст}} = \begin{pmatrix} 0.5 \\ 0.8 \\ 0.3 \\ 0.2 \end{pmatrix} \quad (2.2.1)$$

Собственные числа $\lambda^{\text{уст}}$ не должны пересекаться с собственными числами матриц A , A_d исходных систем. Исходные собственные числа матриц A , A_d :

$$\lambda = \begin{pmatrix} 0 \\ 0 \\ 2.5721 \\ -2.5721 \end{pmatrix}, \lambda_d = \begin{pmatrix} 1 \\ 1 \\ 1.4751 \\ 0.6779 \end{pmatrix} \quad (2.2.2)$$

Отсюда видно, что $\lambda^{\text{уст}}$ отличаются от исходных собственных чисел.

Построим матрицы F для непрерывной и дискретной моделей:

$$F = \begin{pmatrix} -1 & 0 & 0 & 0 \\ 0 & -2 & 0 & 0 \\ 0 & 0 & -1.5 & 0 \\ 0 & 0 & 0 & -0.5 \end{pmatrix}, \quad F_d = \begin{pmatrix} 0.5 & 0 & 0 & 0 \\ 0 & 0.8 & 0 & 0 \\ 0 & 0 & 0.3 & 0 \\ 0 & 0 & 0 & 0.2 \end{pmatrix} \quad (2.2.3)$$

Зададим матрицы G следующим образом:

$$G = G_d = (1 \ 1 \ 1 \ 1) \quad (2.2.4)$$

Матричные пары (G, F) должны быть наблюдаемы. Для проверки этого, с помощью функции `rank` были найдены ранги матриц наблюдаемости для этих пар. Результаты представлены на рисунке 5.

```
S_H_G =
1.0000000000000000 -1.0000000000000000 1.0000000000000000 -1.0000000000000000
1.0000000000000000 -2.0000000000000000 4.0000000000000000 -8.0000000000000000
1.0000000000000000 -1.5000000000000000 2.2500000000000000 -3.3750000000000000
1.0000000000000000 -0.5000000000000000 0.2500000000000000 -0.1250000000000000

Sd_H_G =
1.0000000000000000 0.5000000000000000 0.2500000000000000 0.1250000000000000
1.0000000000000000 0.8000000000000000 0.6400000000000000 0.5120000000000000
1.0000000000000000 0.3000000000000000 0.0900000000000000 0.0270000000000000
1.0000000000000000 0.2000000000000000 0.0400000000000000 0.0080000000000000

rank_S_H =
4

rank_Sd_H =
4
```

Рис. 5 – Матрицы наблюдаемости пар (G, F) дискретной и непрерывной моделей и их ранги.

Ранги полученных матриц равны размерности пространства состояния, а значит данные матричные пары наблюдаемы.

Рассчитаем матрицу E и Ed по формуле:

$$E = BG \quad 2.2.5$$

Получим:

$$E = \begin{pmatrix} 0 & 0 & 0 & 0 \\ 0 & 0 & 0 & 0 \\ 0.00289017 & 0.00289017 & 0.00289017 & 0.00289017 \\ -0.00192678 & -0.00192678 & -0.00192678 & -0.00192678 \end{pmatrix}$$

$$E_d = 10^{-3} \begin{pmatrix} 0.033126 & 0.033126 & 0.033126 & 0.033126 \\ -0.021975 & -0.021975 & -0.021975 & -0.021975 \\ 0.43842 & 0.43842 & 0.43842 & 0.43842 \\ -0.29444 & -0.29444 & -0.29444 & -0.29444 \end{pmatrix} \quad (2.2.6)$$

2.3. Синтез управления

Для получения значений регуляторов необходимо решить матричное уравнение Сильвестра для дискретной и непрерывной модели:

$$AP + PF = E \quad (2.3.1)$$

Уравнение Сильвестра можно переписать в виде системы линейных алгебраических уравнений:

$$Wp = e \quad (2.3.2)$$

где:

- W — матрица коэффициентов, $W = (I_n \otimes A - F^T \otimes I_n)$
- p — вектор, содержащий элементы матрицы P , выписанные в столбец,
- e — вектор, содержащий элементы матрицы E , выписанные в столбец.

$$e_i = (0 \quad 0 \quad 0.00289017 \quad -0.00192678)^T$$

$$e_d = 10^{-3}(0.033126 \quad -0.021975 \quad 0.43842 \quad -0.29444)^T$$

$$W = \begin{pmatrix} W_1 & \mathbb{O} & \mathbb{O} & \mathbb{O} \\ \mathbb{O} & W_2 & \mathbb{O} & \mathbb{O} \\ \mathbb{O} & \mathbb{O} & W_3 & \mathbb{O} \\ \mathbb{O} & \mathbb{O} & \mathbb{O} & W_4 \end{pmatrix}, \quad W_d = \begin{pmatrix} W_{d1} & \mathbb{O} & \mathbb{O} & \mathbb{O} \\ \mathbb{O} & W_{d2} & \mathbb{O} & \mathbb{O} \\ \mathbb{O} & \mathbb{O} & W_{d3} & \mathbb{O} \\ \mathbb{O} & \mathbb{O} & \mathbb{O} & W_{d4} \end{pmatrix},$$

$$\mathbb{O} = \begin{pmatrix} 0 & 0 & 0 & 0 \\ 0 & 0 & 0 & 0 \\ 0 & 0 & 0 & 0 \\ 0 & 0 & 0 & 0 \end{pmatrix}$$

$$W_1 = \begin{pmatrix} 1 & 0 & 1 & 0 \\ 0 & 1 & 0 & 1 \\ 0 & -0.1134104046 & 1 & 0 \\ 0 & 6.615606936 & 0 & 1 \end{pmatrix}, W_2 = \begin{pmatrix} 2 & 0 & 1 & 0 \\ 0 & 2 & 0 & 1 \\ 0 & -0.1134104046 & 2 & 0 \\ 0 & 6.615606936 & 0 & 2 \end{pmatrix},$$

$$W_3 = \begin{pmatrix} 1.5 & 0 & 1 & 0 \\ 0 & 1.5 & 0 & 1 \\ 0 & -0.1134104046 & 1.5 & 0 \\ 0 & 6.615606936 & 0 & 1.5 \end{pmatrix}, W_4 = \begin{pmatrix} 0.5 & 0 & 1 & 0 \\ 0 & 0.5 & 0 & 1 \\ 0 & -0.1134104046 & 0.5 & 0 \\ 0 & 6.615606936 & 0 & 0.5 \end{pmatrix} \quad (2.3.3)$$

$$W_{d1} = \begin{pmatrix} 0.5 & -0.00131165 & 0.1511355 & -0.00006574791 \\ 0 & 0.576513 & 0 & 0.1549708 \\ 0 & -0.0175753 & 0.5 & -0.00131165 \\ 0 & 1.025226 & 0 & 0.576513 \end{pmatrix},$$

$$W_{d2} = \begin{pmatrix} 0.2 & -0.00131165 & 0.1511355 & -0.00006574791 \\ 0 & 0.276513 & 0 & 0.1549708 \\ 0 & -0.0175753 & 0.2 & -0.00131165 \\ 0 & 1.025226 & 0 & 0.276513 \end{pmatrix},$$

$$W_{d3} = \begin{pmatrix} 0.7 & -0.00131165 & 0.1511355 & -0.00006574791 \\ 0 & 0.776513 & 0 & 0.1549708 \\ 0 & -0.0175753 & 0.7 & -0.00131165 \\ 0 & 1.025226 & 0 & 0.776513 \end{pmatrix};$$

$$W_{d4} = \begin{pmatrix} 0.8 & -0.00131165 & 0.1511355 & -0.00006574791 \\ 0 & 0.876513 & 0 & 0.1549708 \\ 0 & -0.0175753 & 0.8 & -0.00131165 \\ 0 & 1.025226 & 0 & 0.876513 \end{pmatrix}$$

С помощью кода, написанного на языке MATLAB, были получены значения матриц P .

$$P = \begin{pmatrix} -0.00285125757 & -0.00070165663 & -0.001262273695 & -0.01142336904 \\ -0.0003431116 & -0.00073664738 & -0.00044135444 & -0.00030268598 \\ 0.00285125757 & 0.00140331326 & 0.00189341054 & 0.00571168452 \\ 0.0003431117 & 0.00147329476 & 0.00066203166 & 0.00015134299 \end{pmatrix} \quad (2.3.4)$$

$$P_d = \begin{pmatrix} -0.00019975024 & -0.00146547588 & -0.00008798731 & -0.00006214572 \\ 0.00018998946 & -0.00047989462 & 0.00006432385 & 0.00004326952 \\ 0.00088129214 & 0.00215461421 & 0.00062705966 & 0.00054834186 \\ -0.0008485882 & 0.00071447075 & -0.00046410876 & -0.00038653282 \end{pmatrix} \quad (2.3.5)$$

Код программы для расчета матриц P P_d представлен на рисунке 6.

```
A=[0 0 1 0;0 0 0 1;0 -0.1134104046 0 0;0 6.615606936 0 0];
T = 0.151135504765592;
F = diag([-1,-2,-1.5, -0.5]);
Fd = diag([0.5, 0.8, 0.3, 0.2]);
Ad = [
    1.0, -0.00131165, 0.1511355, -0.00006574791;
    0, 1.076513, 0, 0.1549708;
    0, -0.0175753, 1.0, -0.00131165;
    0, 1.025226, 0, 1.076513;
];
G = [1,1,1,1];
Bg = [0.000033126; -0.000021975; 0.00043842; -0.00029444];
B=[0; 0; 0.00289017; -0.00192678];

I = eye(4);

W = kron(I, A) - kron(F.', I);

Wd = kron(I, Ad) - kron(Fd.', I);

E = B * G;
Ed = Bg * G;

e = [E(:,1)', E(:,2)', E(:,3)', E(:,4)']';
ed = [Ed(:,1)', Ed(:,2)', Ed(:,3)', Ed(:,4)']';

p = linsolve(W,e)
P = [p(1:4), p(5:8), p(9:12), p(13:16)]
```

Рис. 6 – Код программы в MATLAB

Из формулы

$$k_p P = G \quad (2.3.6)$$

Выразим k_p :

$$k_p = GP^{-1} \quad (2.3.7)$$

На основе полученных матриц P был проведен расчет параметров регуляторов k_p для непрерывной и дискретной моделей.

$$k_p = 10^3 * \begin{pmatrix} -0.079357891812304 \\ -8.093796247718581 \\ -0.330657882551267 \\ -3.090989885930520 \end{pmatrix}$$

$$k_{dp} = 10^3 * \begin{pmatrix} -0.558721546935325 \\ -3.975524390249701 \\ -0.6906198557968677 \\ -1.593636118280469 \end{pmatrix} \quad (2.3.8)$$

Код программы для расчета матриц k_p и k_{dp} представлен на рисунке 7.

```
Fd = diag([0.5, 0.8, 0.3, 0.2]);
Ad = [
    1.0, -0.00131165, 0.1511355, -0.00006574791;
    0,    1.076513,    0,    0.1549708;
    0,    -0.0175753,    1.0,    -0.00131165;
    0,    1.025226,    0,    1.076513;
];
G = [1,1,1,1];
Bg = [0.000033126; -0.000021975; 0.00043842; -0.00029444];
B=[0; 0; 0.00289017; -0.00192678];

I = eye(4);

W = kron(I, A) - kron(F.', I);

Wd = kron(I, Ad) - kron(Fd.', I);

E = B * G;
Ed = Bg * G;

e = [E(:,1)', E(:,2)', E(:,3)', E(:,4)']';
ed = [Ed(:,1)', Ed(:,2)', Ed(:,3)', Ed(:,4)']';

p = linsolve(W,e)
P = [p(1:4), p(5:8), p(9:12), p(13:16)]

pd = linsolve(W_d,ed)
Pd = [pd(1:4), pd(5:8), pd(9:12), pd(13:16)]

kp=G/P
kdp=G/Pd
```

Рис. 7 – Код программы в MATLAB

Получение матриц A_z замкнутых непрерывной и дискретной моделей:

$$A_z = \begin{pmatrix} 0 & 0 & 1 & 0 \\ 0 & 0 & 0 & 1 \\ 0.229357798 & 23.279036697 & 0.955657492 & 8.93348624 \\ -0.152905199 & -8.9793577982 & -0.637104995 & -5.9556575 \end{pmatrix}$$

$$A_{dz} = \begin{pmatrix} 1.1850820996 & 1.3156205595 & 0.3799102334 & 0.52784215263 \\ -0.12277905993 & 0.2028915152 & -0.1517637133 & -0.19523073699 \\ 2.449547006 & 17.4119187317 & 4.0278155718 & 6.98550781977 \\ -1.6450997228 & -10.6803080147 & -2.0334611034 & -3.61578918667 \end{pmatrix} \quad (2.3.9)$$

Код программы для расчета матриц A_z и A_{dz} представлен на рисунке 8.

```

A=[0 0 1 0;0 0 0 1;0 -0.1134104046 0 0;0 6.615606936 0 0];
T = 0.151135504765592;
F = diag([-1,-2,-1.5, -0.5]);
Fd = diag([0.5, 0.8, 0.3, 0.2]);
Ad = [
    1.0, -0.00131165, 0.1511355, -0.00006574791;
    0, 1.076513, 0, 0.1549708;
    0, -0.0175753, 1.0, -0.00131165;
    0, 1.025226, 0, 1.076513;
];
C = [1, -1,0,0];
G = [1,1,1,1];
Bg = [0.000033126; -0.000021975; 0.00043842; -0.00029444];
B=[0; 0; 0.00289017; -0.00192678];

I = eye(4);

W = kron(I, A) - kron(F.', I);

Wd = kron(I, Ad) - kron(Fd.', I);

E = B * G;
Ed = Bg * G;

e = [E(:,1)', E(:,2)', E(:,3)', E(:,4)']';
ed = [Ed(:,1)', Ed(:,2)', Ed(:,3)', Ed(:,4)']';
p = linsolve(W,e)
F = [p(1:4), p(5:8), p(9:12), p(13:16)]

pd = linsolve(W_d,ed)
Pd = [pd(1:4), pd(5:8), pd(9:12), pd(13:16)]

kp=G/P
kdp=G/Pd

Az = A-b*kp
Adz = Ad-bd*kdp
eigAz = eig(Az)
eigAdz = eig(Adz)
sysZ = ss(Az,b,C,0);
sysZd=ss(Adz,bd,C,0, T);

```

Рис. 8 – Код программы в MATLAB

Сравним собственные числа матриц замкнутых систем и $\lambda^{уст}$. Для непрерывной системы числа совпали с точностью до погрешности:

$$\lambda^{уст} = \begin{pmatrix} -1 \\ -2 \\ -1.5 \\ -0.5 \end{pmatrix}, \text{eig}(A_z) = \begin{pmatrix} -2.000000000000000 \\ -1.500000000000018 \\ -0.999999999999991 \\ -0.499999999999999 \end{pmatrix} \quad (2.3.10)$$

Для дискретной собственные числа тоже совпали:

$$\lambda_d^{уст} = \begin{pmatrix} 0.5 \\ 0.8 \\ 0.3 \\ 0.2 \end{pmatrix}, \text{eig}(A_{dz}) = \begin{pmatrix} 0.800000000000001 \\ 0.199999999999919 \\ 0.300000000000150 \\ 0.499999999999967 \end{pmatrix} \quad (2.3.11)$$

Собственные числа полученных матриц совпали с заданными собственными числами.

2.4. Исследование непрерывной САУ

Построим в программе SimInTech САУ без регулятора и с регулятором и сравним их.

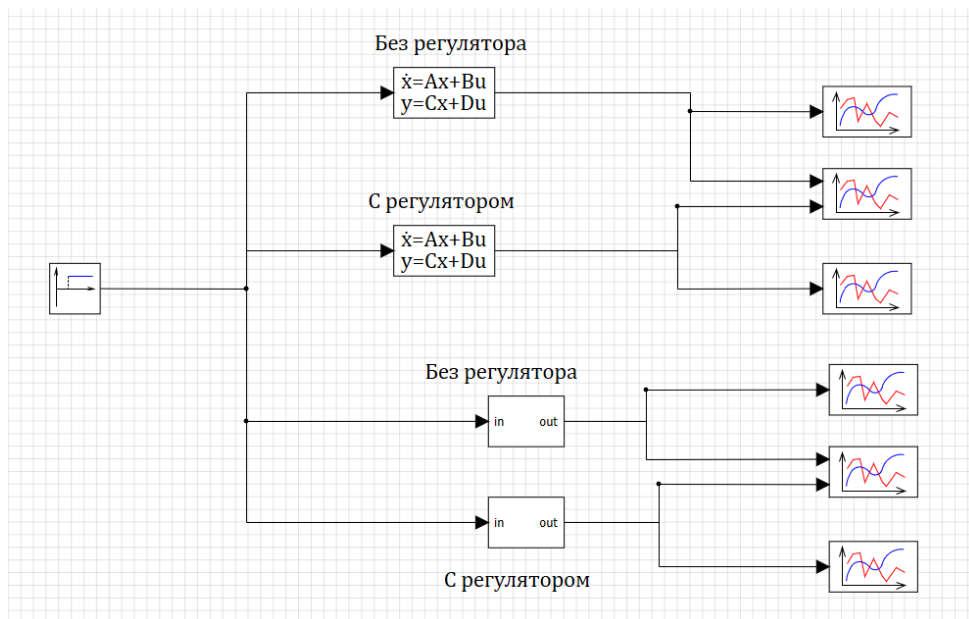


Рис. 9 – САУ с и без регулятора

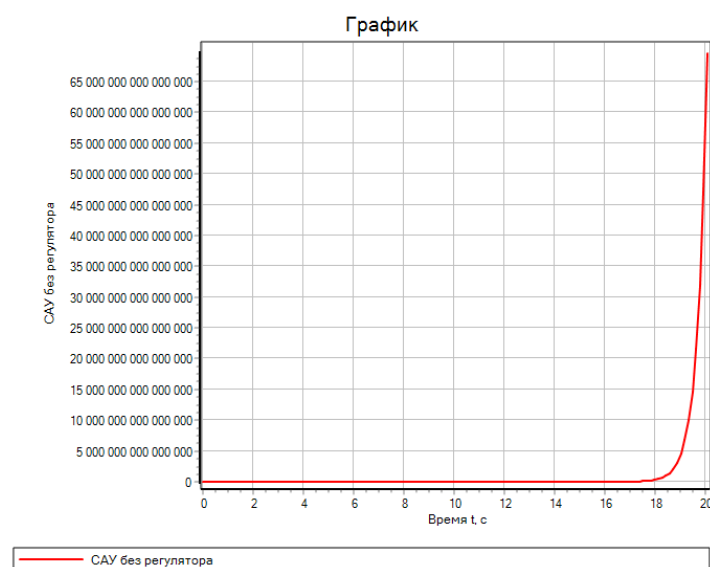


Рис. 10 – ПХС САУ без регулятора

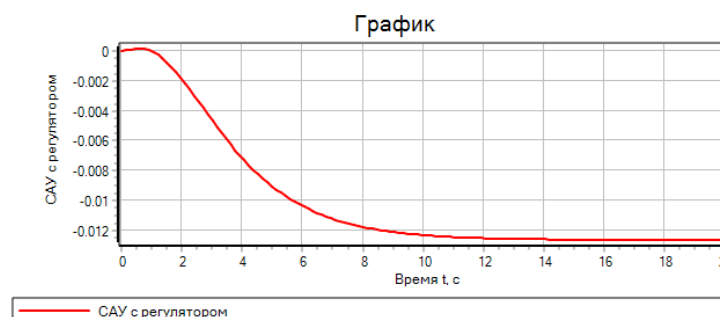


Рис. 11 – ПХС САУ с регулятором

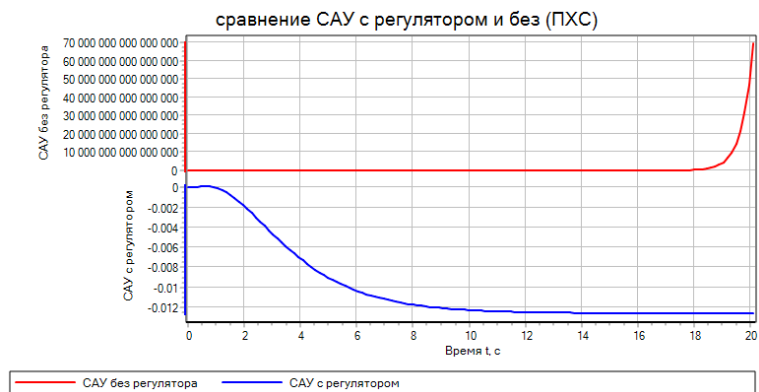


Рис. 12 – ПХС САУ с и без регулятора

Характеристика переходного процесса для ПХС САУ с регулятором:

1) Установившиеся значение сигнала: $y(+\infty) = -0.012599$

2) Время переходного процесса:

$$e = 0.05 \cdot (0.0001313295 - 0.012599) = -0.00062338352c$$

$$t_{пп} = 7.1017$$

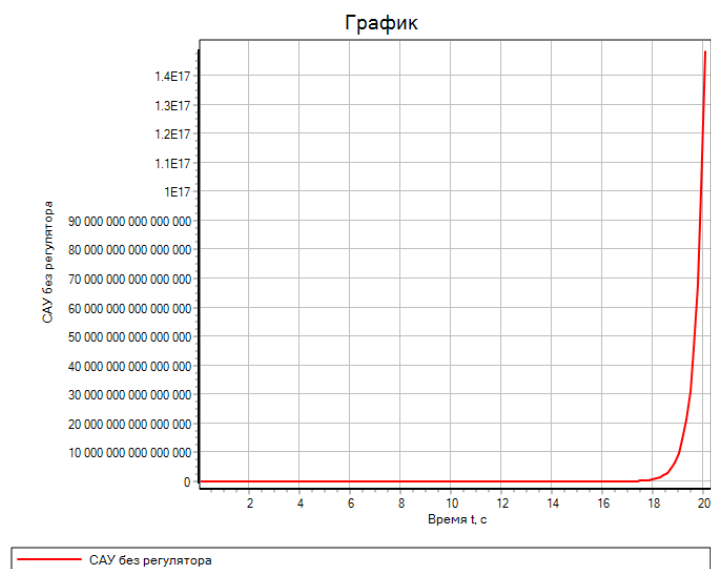


Рис. 13 – ИХС САУ без регулятора

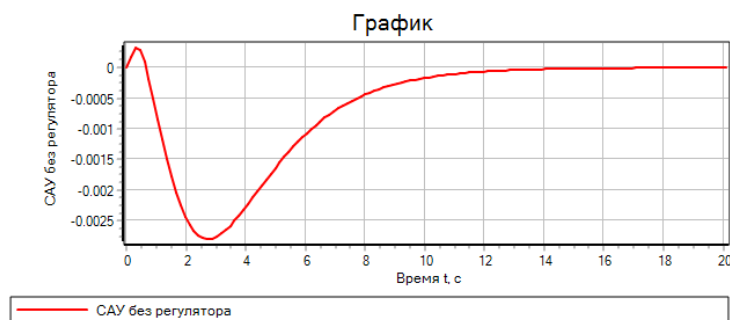


Рис. 14 – ИХС САУ с регулятором

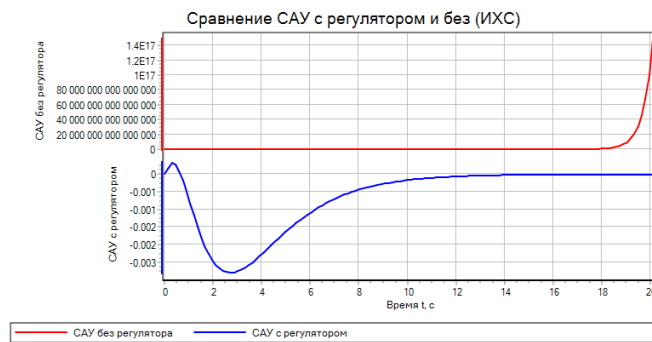


Рис. 15 – ИХС САУ с и без регулятора

Характеристика переходного процесса для ИХС САУ с регулятором:

1) Установившееся значение сигнала: $y(+\infty) = -1.08921836748539E - 6$

2) Время переходного процесса:

$$\tau = 0.05 \cdot (0.000326504687781387 + 0.00279934510334674) = 0.00015629248$$

$$t_{пп} = 10.1237c$$

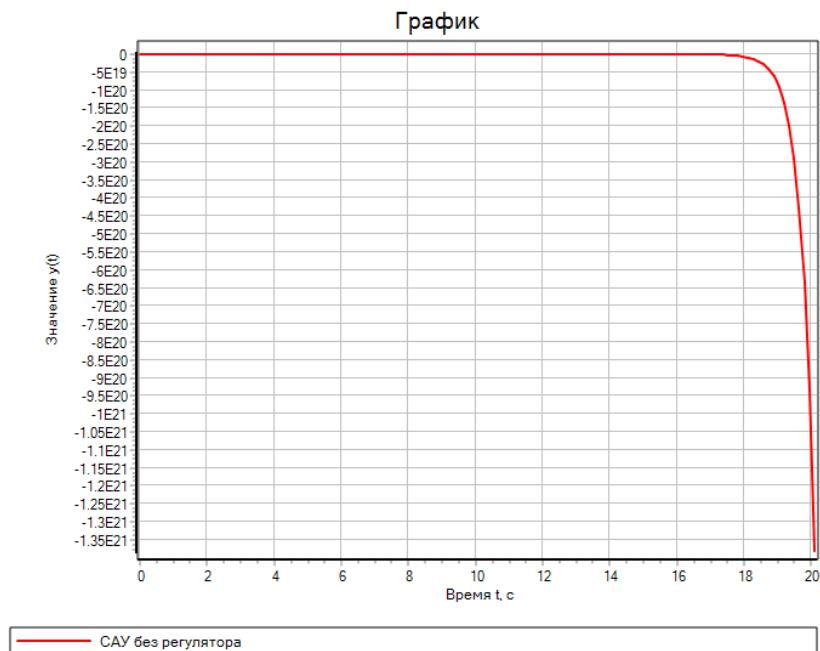


Рис. 16 – ННУ САУ без регулятора

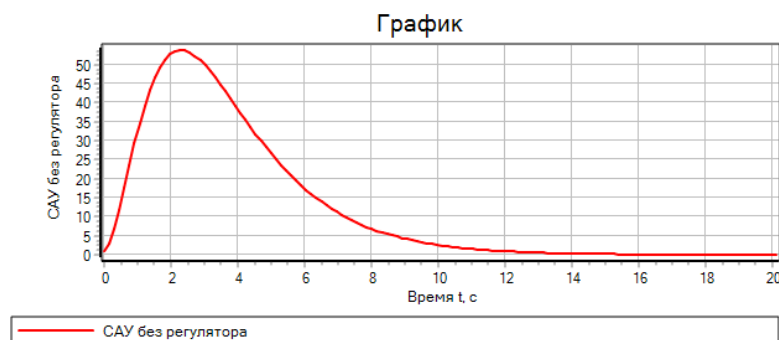


Рис. 17 – ННУ САУ с регулятором

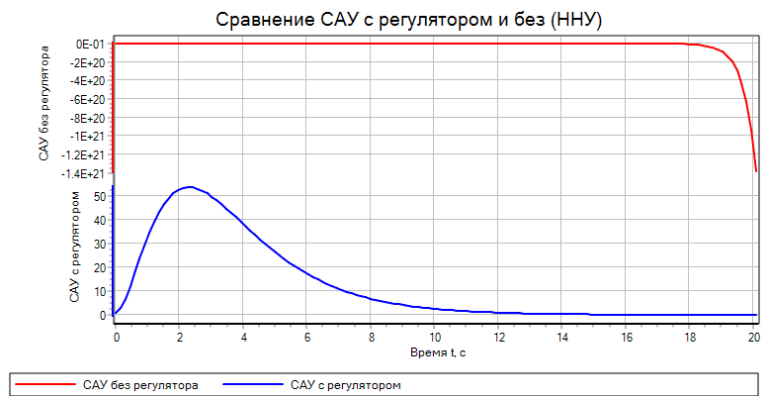


Рис. 18 – ННУ САУ с и без регулятора

Характеристика переходного процесса для ПХС САУ с регулятором:

1) Установившиеся значение сигнала: $y(+\infty) = 0.0169119622550408$

2) Время переходного процесса:

$$\epsilon = 0.05 * (53.8494692970931 - 0.0169119622550408) = 2.69162786674$$

$$t_{\text{пп}} = 9.8215\text{с}$$

2.5. Исследование дискретной САУ

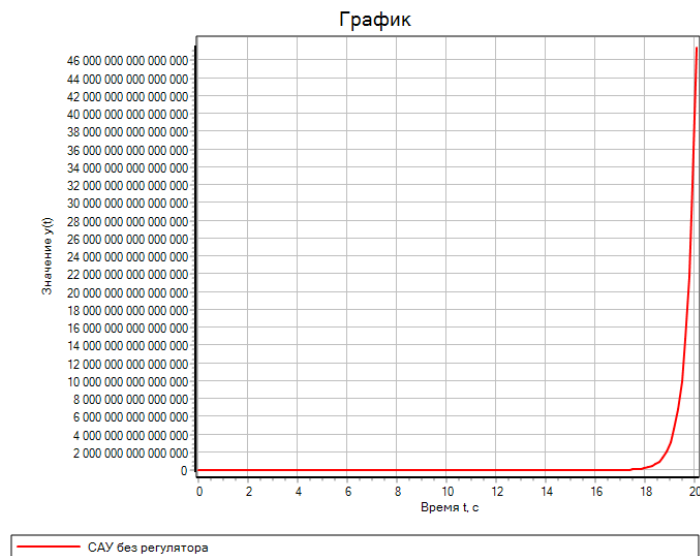


Рис. 19 – ПХС САУ без регулятора

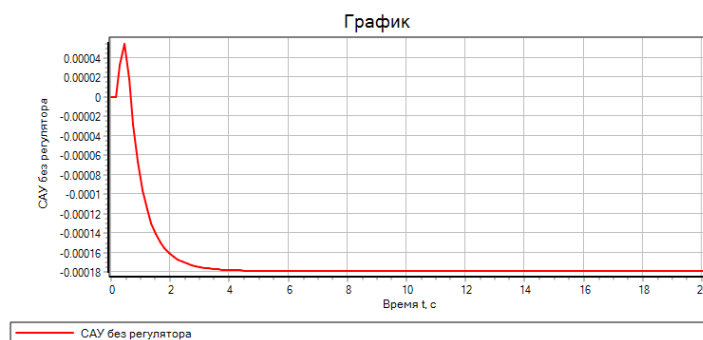


Рис. 20 – ПХС САУ без регулятора

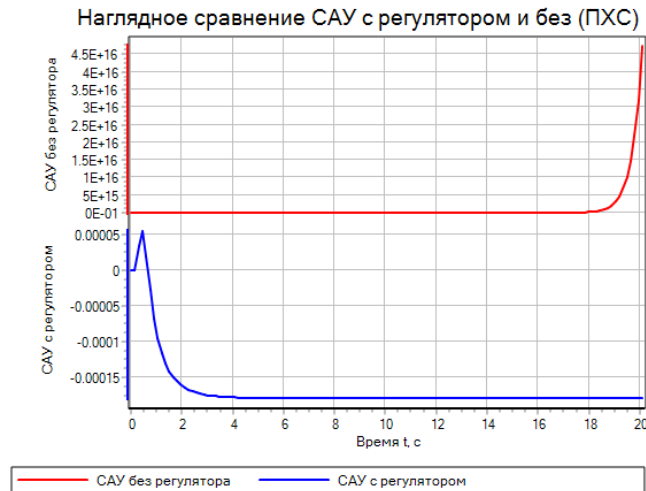


Рис. 21 – ПХС САУ с и без регулятора

Характеристика переходного процесса для ПХС САУ с регулятором:

1) Установившиеся значение сигнала: $y(+\infty) = -0.000178980031374289$

2) Время переходного процесса:

$$e = 0.05 * (5.46146689573716E-5 - 0.00017898003137428931) = -0.00000621826$$

$$t_{\text{пп}} = 3.6264\text{с}$$

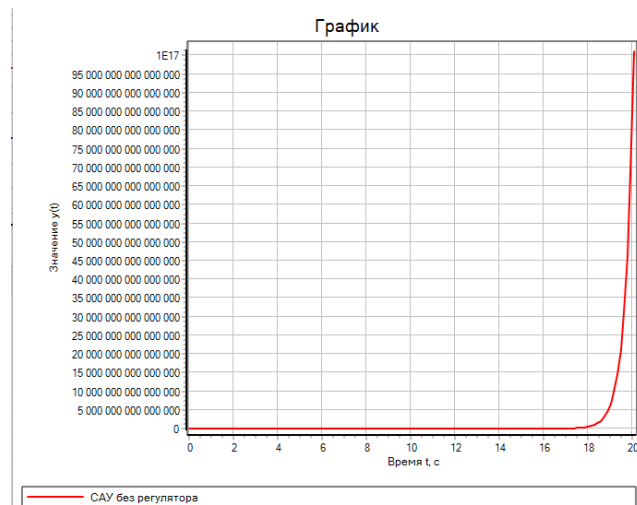


Рис. 22 – ИХС САУ без регулятора

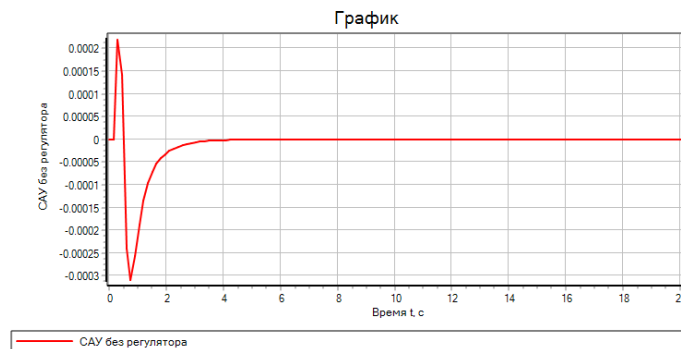


Рис. 23 – ИХС САУ с регулятором

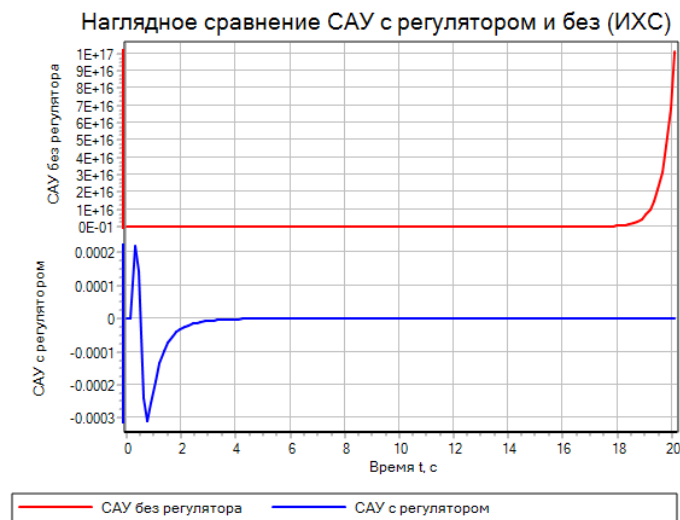


Рис. 24 – ИХС САУ с и без регулятора

Характеристика переходного процесса для ПХС САУ с регулятором:

1) Установившиеся значение сигнала: $y(+\infty) = -0.000178980031374289$

2) Время переходного процесса:

$$e = 0.05 \cdot (0.000219232296492389 + 0.000309235600539601) = -0.00000621826$$

$$t_{\text{пн}} = 1.0577 \text{ c}$$

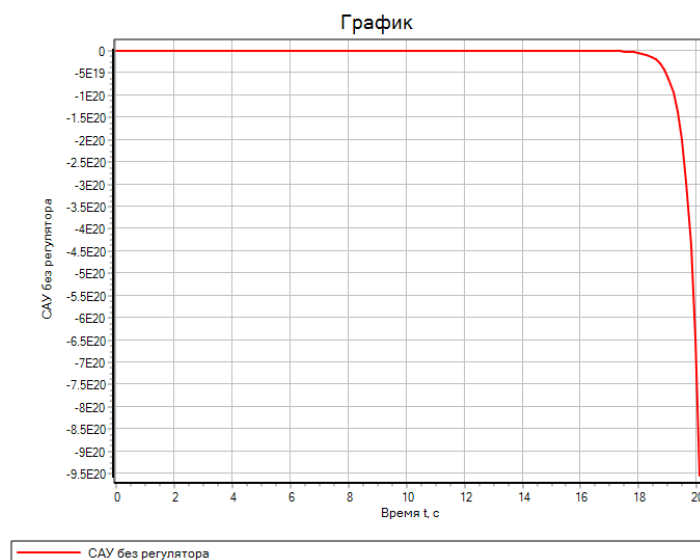


Рис. 25 – ННУ САУ без регулятора

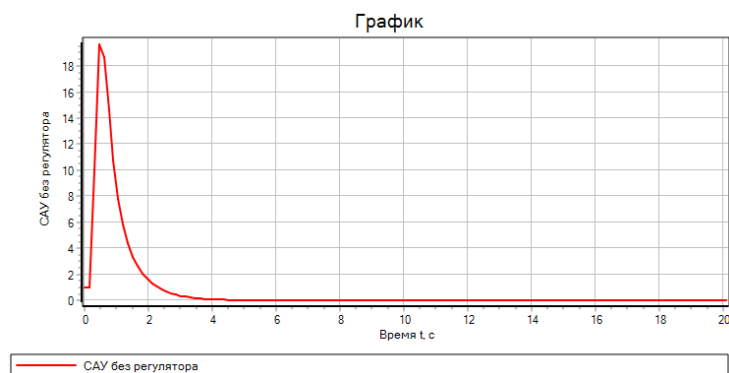


Рис. 26 – ННУ САУ с регулятором

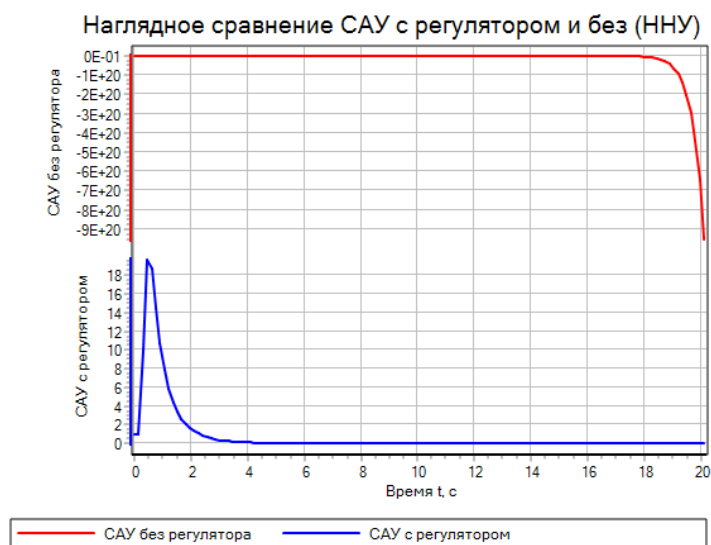


Рис. 27 – ННУ САУ с и без регулятора

Характеристика переходного процесса для ПХС САУ с регулятором:

3) Установившиеся значение сигнала: $y(+\infty) = 3.74782048775371E - 12$

4) Время переходного процесса:

$$e = 0.05 * (19.6728667439851 - 3.74782048775371E - 12) = 0.98364333719$$

$$t_{\text{пн}} = 2.4176\text{с}$$

Графики системы автоматического управления (САУ) с регулятором демонстрируют сходимость к нулю (или к установившемуся значению в случае переходной характеристики), что подтверждает эффективность разработанного регулятора.

3. Оптимальный регулятор

3.1. Теория

Задана система автоматического управления (САУ), представленная на рис. 1, динамику которой можно описать моделью в пространстве состояний (1).

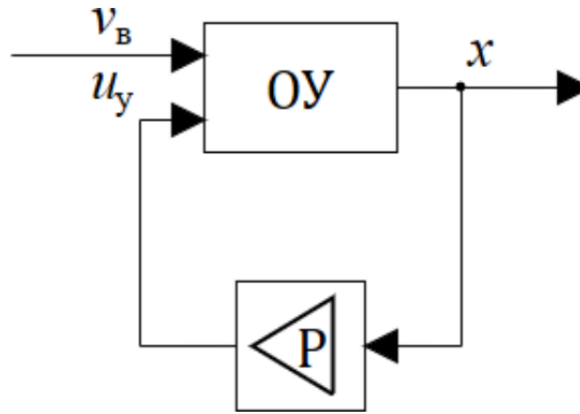


Рис. 28 – Замкнутая система автоматического управления в схематичном виде

$$\begin{cases} \dot{x}(t) = A_3 x(t) + b_v v_3(t) \\ y(t) = E_n x(t) \end{cases} \left| \begin{cases} x_{k+1} = A_{3d} x_k + b_{vd} v_{vk} \\ y_k = E_n x_k \end{cases} \right. \quad (3.1.1)$$

где b_v и b_{vd} – части матриц B и B_d , относящихся к соответствующим возмущающим воздействиям v_v и v_{vk} , $x(0) = x_0 = x^0$.

Как и в случае модального регулятора, мы будем синтезировать линейное управление

$$u_y = k_p x \quad (3.1.2)$$

где k_p – коэффициенты регулятора. Тогда матрица замкнутой системы будет иметь вид:

$$A_3 = A + b_v k_p \quad (3.1.3)$$

Прежде, чем перейти к синтезу, рассмотрим особенности оптимального управления. В модальном управлении ядром синтеза был выбор собственных чисел замкнутой модели. Это позволяло определить характер переходных процессов (апериодический, колебательный и т.п.), но не позволяло ставить на них различные ограничения, загоняя их в необходимые для работы или исследования рамки. Оптимальное управление позволяет эти ограничения задать. Конечно, таким образом нельзя будет утверждать, каким характером будут обладать переходные процессы, но здесь уже важно выполнение условий – оптимальность, – а не то, как именно это будет достигаться.

Ограничения задаются с помощью функционала качества. В общем виде это некоторая интегральная функция от времени и векторов состояния и управления, которую можно выбирать согласно поставленным задачам. Для линейных систем обычно выбирают квадратичный функционал качества:

$$J = \int_0^{+\infty} (x^T(t)Qx(t) + u^T(t)Ru(t))dt \quad | \quad J = \sum_{k=0}^{+\infty} (x_k^T Q x_k + u_k^T R u_k) \quad (3.1.5)$$

где $Q = Q^T > 0$ и $R = R^T > 0$ – это квадратные матрицы, которые и будут задавать ограничения для замкнутой САУ.

Поставим задачу найти такое управление u_y , чтобы $J \rightarrow \min_{u_y}$.

То есть будем говорить, что отклонения x и управления u с течением времени должны будут стремиться к нулю, что и будет обуславливать ограниченность интеграла или суммы, а значит и существование минимума.

3.2. Выбор ограничений

Перед началом синтеза управления нужно задать ограничения, т.е. сформировать матрицы Q и R :

1) выбираем желаемые максимальную статическую ошибку $y_{\text{ош}}$, т.е. величину. отличия от установившегося значения $y(+\infty)$, если исследуемая система устойчива, и время переходного процесса $t_{\text{пп}}$;

Пусть $y_{\text{ош}} = 0,0001313295$ и $t_{\text{пп}} = 6.5$ с.

2) формируем матрицу \tilde{Q} :

$$\tilde{Q} = \begin{pmatrix} 1/y_{\text{ош}}^2 & 0 \\ 0 & t_{\text{пп}}^2/9y_{\text{ош}}^2 \end{pmatrix} = \begin{pmatrix} 7\,614,43 & 0 \\ 0 & 272\,182\,138,435 \end{pmatrix} \quad (3.2.1)$$

3) находим матрицу H :

$$H = \begin{pmatrix} e_p \\ e_p A \end{pmatrix} = \begin{pmatrix} 1 & 0 & 0 & 0 \\ 0 & 0 & 1 & 0 \end{pmatrix} \quad (3.2.2)$$

$$H_d = \begin{pmatrix} e_p \\ e_p A_d \end{pmatrix} = \begin{pmatrix} 1 & 0 & 0 & 0 \\ 1 & -0.00131165 & 0.1511355 & -0.00006574791 \end{pmatrix} \quad (3.2.3)$$

где e_p – вектор-строка размерности n с единицей в p -ой позиции, которая указывает, оптимальности какого компонента вектора состояния x мы будем добиваться;

4) используем следующее преобразование, чтобы получить требуемую матрицу Q :

$$Q = H^T \tilde{Q} H = 10^8 \begin{pmatrix} 0.0000761443 & 0 & 0 & 0 \\ 0 & 0 & 0 & 0 \\ 0 & 0 & 2.72182138435 & 0 \\ 0 & 0 & 0 & 0 \end{pmatrix} \quad (3.2.4)$$

$$Q_d = H_d^T \tilde{Q} H_d = 10^4 \begin{pmatrix} 2721.897528 & -0.3570077 & 411.3638358 & 0.0178954 \\ -0.3570077 & 0.000468269 & -0.0539565 & 0.0000234725 \\ 411.36384 & -0.0539565 & 6.2171679 & 0.0027046 \\ -0.0178954 & 0.00002347 & -0.00027046 & 0.0000001176 \end{pmatrix} \quad (3.2.5)$$

5) матрицу R выбираем единичной, т.к. нет необходимости следить за качеством управления: нас интересует только качество замкнутой системы; тем не менее, чтобы ресурсозатратность была минимальной, нужно уменьшить суммарную величину управляющего воздействия.

3.3. Синтез управления

Для поиска минимальной траектории используют необходимое условие оптимальности, или уравнение Беллмана:

$$\min_{u_y} \left(\dot{V}(t) + x^T(t) Q x(t) + u^T(t) R u(t) \right) = 0 \quad (3.3.1)$$

$$\min_k (\Delta V_k + x_k^T Q x_k + u_k^T R u_k) = 0 \quad (3.3.2)$$

где V – функция Ляпунова.

Формула расчёта коэффициентов регулятора:

$$k_p = -R^{-1} b_y^T P, \quad | \quad k_{pd} = -\bar{R}^{-1} b_{yd}^T P A_d \quad (3.3.3)$$

где $\bar{R} = R + B_d^T P B_d$. Тем не менее сейчас мы их посчитать не можем, т.к. нам не известна матрица P . Её находят из уравнения Риккати:

$$A^T P + P A - P b_y R^{-1} b_y^T P = -Q \quad | \quad A_d^T P A_d - P - A_d^T P b_{yd} \bar{R}^{-1} b_{yd}^T P A_d = -Q \quad (3.3.4)$$

Решения матричных нелинейных алгебраических уравнений не единственны.

Необходимо с помощью численных методов найти такое решение, чтобы $P > 0$.

Его существование определяется теоремой со следующими условиями:

- 1) объект управления должен быть вполне управляемый;
- 2) $R > 0$;
- 3) выполняется одно из условий:

$$3.1) Q > 0,$$

$$3.2) Q = \bar{Q}^T \bar{Q} \geq 0, \text{ причём пара } (A^T, \bar{Q}^T) \text{ – наблюдаемая.}$$

Собственные числа матрицы Q :

- $\lambda_1 = 0$
- $\lambda_2 = 0$
- $\lambda_3 = 7614.43$
- $\lambda_4 = 272182138.435$

Матрица не является положительно определённой, так как у неё есть нулевые собственные значения.

Собственные числа матрицы Qd:

- $\lambda_1 = 0$
- $\lambda_2 = 10^{-15}$
- $\lambda_3 = 170.0522145$
- $\lambda_4 = 278407220.1595985$

Матрица не является положительно определённой, так как у неё есть нулевые собственные значения.

Так как не выполняется условие $Q > 0$, необходимо проверить условие 3.2. Для этого были вычислены матрицы \bar{Q} , \bar{Q}_d :

$$\bar{Q} = SJS^{-1} \rightarrow J^{\frac{1}{2}} = \begin{pmatrix} \pm\sqrt{\lambda_1} & & \\ & \ddots & \\ & & \pm\sqrt{\lambda_4} \end{pmatrix} \quad (3.3.5)$$

$$\bar{Q} = \begin{pmatrix} 87.260701349462 & 0 & 0 & 0 \\ 0 & 0 & 0 & 0 \\ 0 & 0 & 16497.9434607772 & 0 \\ 0 & 0 & 0 & 0 \end{pmatrix}, \quad (3.3.6)$$

$$\bar{Q}_d = \begin{pmatrix} 1631 & -21.38 + 6.57 * 10^{-16}i & 2463 + 5.508 * 10^{-18}i & -1.0717 - 4.47 * 10^{-16}i \\ -21.38 & 0.0291 + 1.47e * 10^{-5}i & -3.344 + 1.239 * 10^{-7}i & 0.001602 - 10^{-5}i \\ 2463 & -3.344 + 1.24 * 10^{-7}i & 385.346408303368 + 1.039 * 10^{-9}i & -0.1676 - 8.44 * 10^{-8}i \\ 1.071 & 0.001602 - 10^{-5}i & -0.167634426574975 - 8.438 * 10^{-8}i & 0.0002904 + 6.85 * 10^{-6}i \end{pmatrix}. \quad (3.3.7)$$

Далее были найдены матрицы наблюдаемости пар (A^T, \bar{Q}^T) и их ранги:

```
rank_S_Q_H =
4

rank_S_Qd_H =
4
```

Рис. 29 – Ранги матриц наблюдаемости матричных пар (A^T, \bar{Q}^T) непрерывной и дискретной систем.

В связи с тем, что ранги полученных матриц равны размерности систем, можно сделать вывод о наблюдаемости матричных пар (A^T, \bar{Q}^T) .

Так как ОУ является вполне управляемым, матрица $R > 0$, $Q \geq 0$ и пары (A^T, \bar{Q}^T) – наблюдаемые, достаточное условие по теореме выполняется.

Для получения матрицы P в Matlab можно воспользоваться функцией `icare`, причём вторым параметром подаётся произведение:

$$b_y R^{-1} b_y^T | b_{y_d} R^{-1} b_{y_d}^T \quad (3.3.8)$$

$$P = \begin{pmatrix} 1445736 & 4559981 & 1158537 & 1783094 \\ 4559981 & 3491838903 & 864011685 & 1365396630 \\ 1158537 & 864011685 & 219504338 & 337855319 \\ 1783094 & 1365396630 & 337855319 & 533904389 \end{pmatrix} \quad (3.3.9)$$

$$P_d = \begin{pmatrix} 0.004465936 & 5.38732 & 0.57163182 & 2.1009442 \\ 5.38732 & 2108501 & 1375.55 & 819786 \\ 0.57163 & 1375.56 & 145.979 & 537.2997 \\ 2.10094 & 819786.66 & 537.2996 & 318734.53 \end{pmatrix} \quad (3.3.10)$$

Теперь подставляем P в уравнение k_p , находим его и собираем матрицу замкнутой САУ.

$$k_p = (87.26 \ 133678 \ 16568 \ 52256) \quad (3.3.11)$$

$$k_{dp} = (0.0004679 \ 407.5725 \ 0.1197978 \ 158.4622) \quad (3.3.12)$$

Подстановка k_p в $u_y = k_p x$ и подача синтезированного управления на вход ОУ.

Получение матриц A_3 замкнутых непрерывной и дискретной моделей:

$$A_3 = \begin{pmatrix} 0 & 0 & 1 & 0 \\ 0 & 0 & 0 & 1 \\ 0.2521982 & 386.239 & 47.884387 & 151.03159 \\ -0.1681321 & -250.953 & -31.9229 & -100.6877 \end{pmatrix} \quad (3.3.13)$$

$$A_{d3} = \begin{pmatrix} 0.9459668 & 0.0491909 & 0.000662676 & 0.0052572 \\ -0.974599 & 0.973057 & 0.03635233 & -0.002815 \\ -0.009873 & 0.178643 & 1.00005 & 0.106048196 \\ -0.002435 & -0.12005 & -3.58235 \cdot 10^{-5} & 0.953342 \end{pmatrix} \quad (3.3.14)$$

Их собственные числа:

Для матрицы A_3

$$\lambda_1 = -47.6834511337453$$

$$\lambda_2 = -0.00528918662540467$$

$$\lambda_3 = -2.55809494121656$$

$$\lambda_4 = -2.55650476255877$$

Для матрицы A_{d3}

$$\lambda_1 = 0.954852445094709 + 0.201977306681321i$$

$$\lambda_2 = 0.954852445094709 - 0.201977306681321i$$

$$\lambda_3 = 0.967657178303805$$

$$\lambda_4 = 0.995054450302245$$

Код для расчета матриц A_3 и A_{d3} предоставлен на рисунке 30

```
lambda = eig(Q);
eighd = eig(Qd);
disp(lambda);
disp(eighd);

[S,J] = eig(Q)
Q_j = S*sqrtm(J)/S

[Sd,Jd] = eig(Qd)
Qd_j = Sd*sqrtm(Jd)/Sd

AQ = [Q_j', A'*Q_j', A'^2*Q_j', A'^3*Q_j']
AQd = [Qd_j', Ad'*Qd_j', Ad'^2*Qd_j', Ad'^3*Qd_j']

rank_AQ = rank(AQ)
rank_AQd = rank(AQd)

R = eye(1);

P = icare(A, b, Q, R)
P_d = dare(Ad, b, Q_d, R)

k_p = -R^-1 * b' * P
R_line = R + bd' * P_d * bd
k_p_d = -R_line^-1 * bd' * P_d * Ad

A_z = A + b * k_p
A_z_d = A_d + bd * k_p_d

lamda_A_z = eig(A_z)
lamda_A_z_d = eig(A_z_d)
```

Рис. 30 – Код программы в MATLAB

3.4. Построение и исследование регулятора для непрерывной модели

Для построения были использованы те же схемы, что и в предыдущем разделе, но с другими матрицами A_3 .

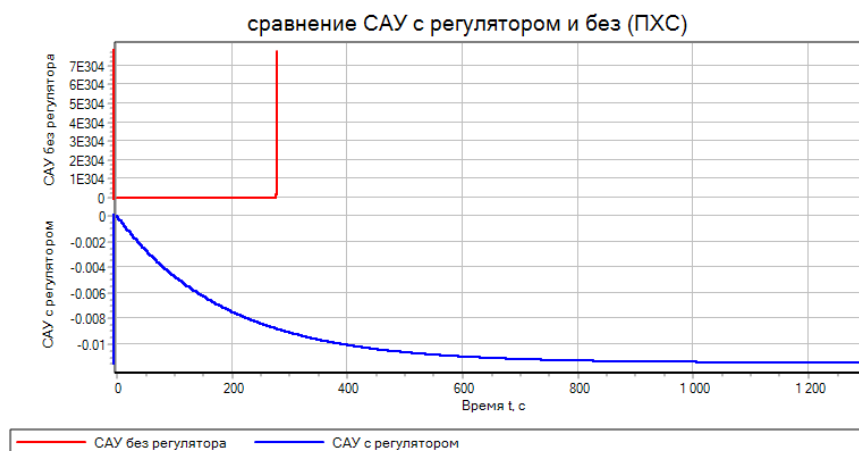


Рис. 31 – ПХС САУ с регулятором и без

Снимем характеристики переходного процесса для ПХС:

- установившееся значение: $y(+\infty) = -0,01144803177319$;
- время переходного процесса: $t_{\text{пп}} = 563,51$;
- статическая ошибка: $y_{\text{co}} = y(+\infty) - y(t_{\text{пп}}) = 0,000572401588595$;

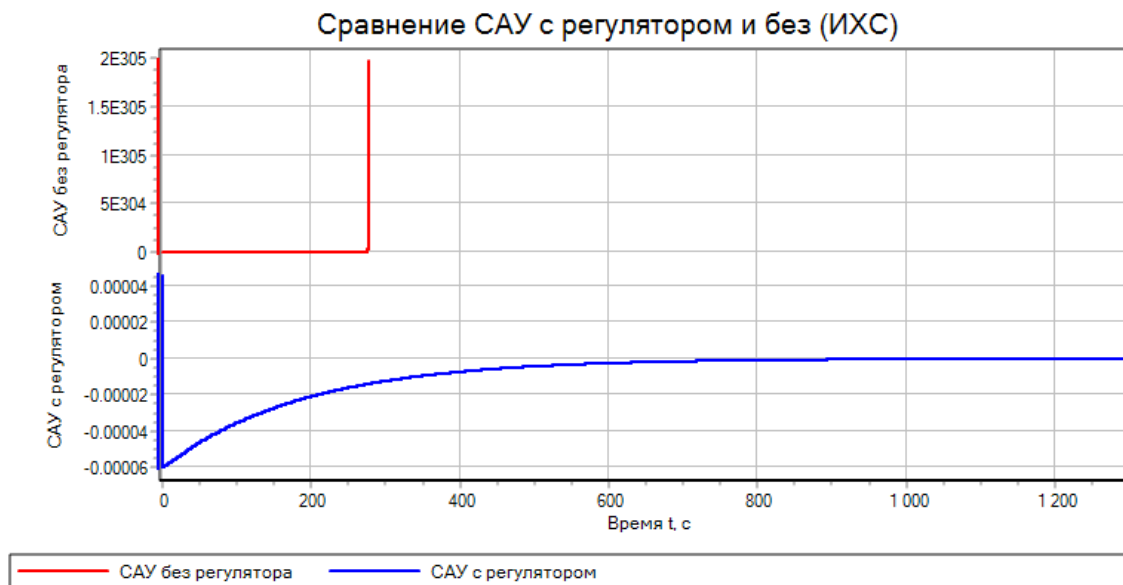


Рис. 32 – ИХС САУ с регулятором и без

Снимем характеристики переходного процесса для ИХС:

- установившееся значение: $y(+\infty) = -0,0000000628409002$;
- время переходного процесса: $t_{\text{пп}} = 460,02$;
- статическая ошибка: $y_{\text{co}} = y(+\infty) - y(t_{\text{пп}}) = 0,0000052797689807$;

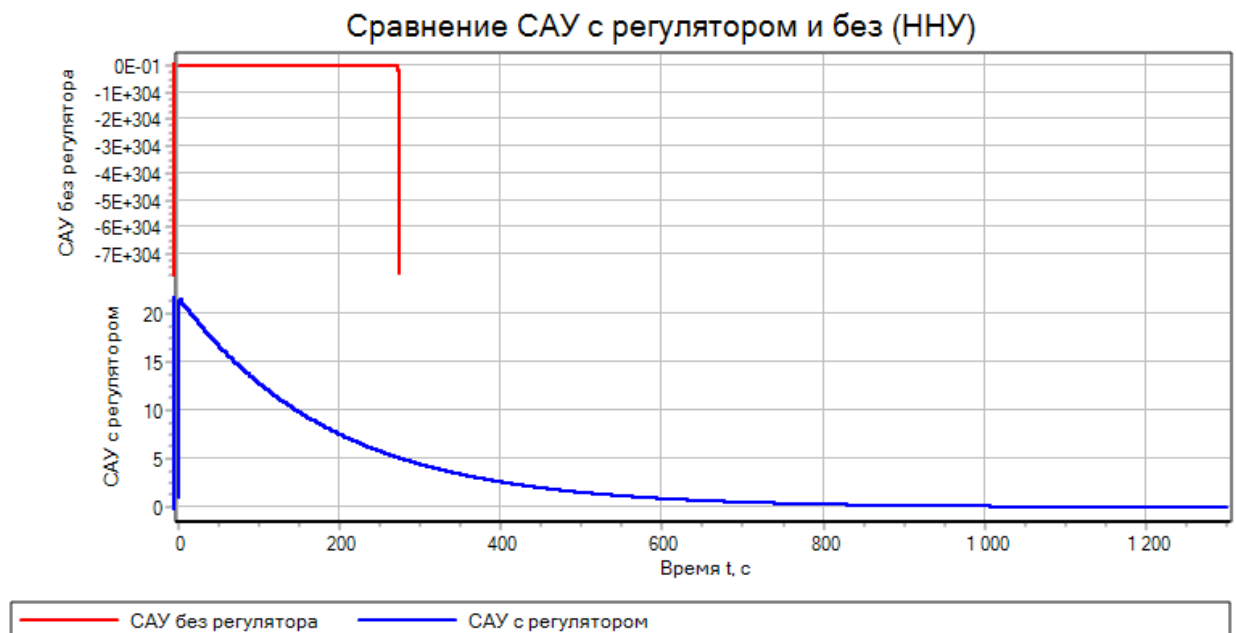


Рис. 33 – Реакция на ненулевые начальные условия

САУ с регулятором и без ($x_0 = [1 \ 5 \ 3 \ 2]$)

Снимем характеристики переходного процесса для ННУ:

- установившееся значение: $y(+\infty) = 0,022482203387$;
- время переходного процесса: $t_{\text{пп}} = 565,48$;
- статическая ошибка: $y_{\text{co}} = y(+\infty) - y(t_{\text{пп}}) = 1,071692462075605635$;

3.5. Построение и исследование регулятора для дискретной модели

Для исследования дискретной САУ были также использованы схемы из предыдущего раздела, но с другими матрицами А.

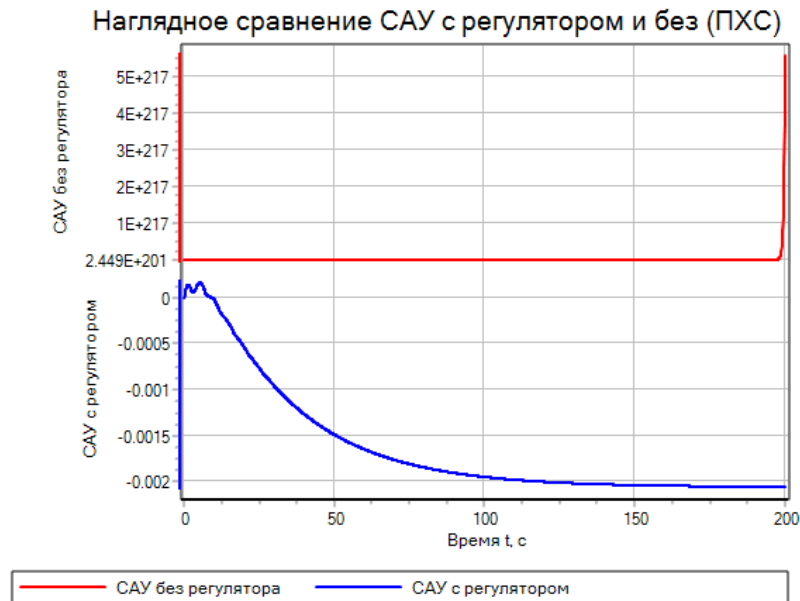


Рис. 34 – ПХС САУ с регулятором и без

Снимем характеристики переходного процесса для ПХС:

- установившееся значение: $y(+\infty) = -0,0020536418$;
- время переходного процесса: $t_{\text{пп}} = 146,2648$;
- статическая ошибка: $y_{\text{co}} = y(+\infty) - y(t_{\text{пп}}) = -0,0000200275$;

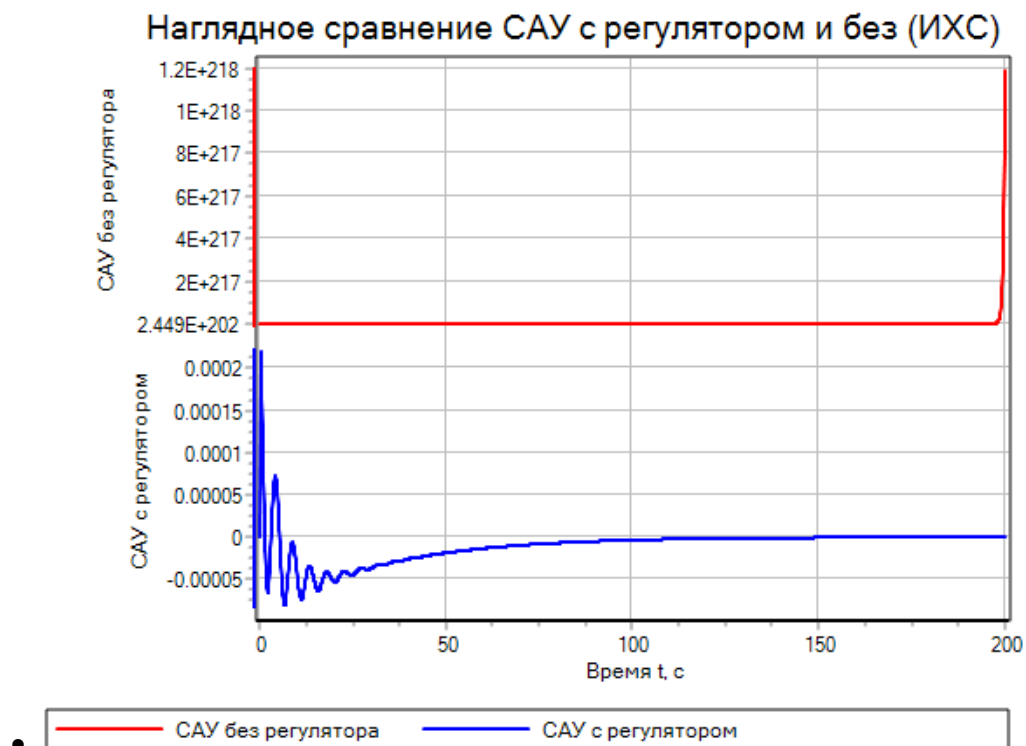


Рис. 35 – ИХС САУ с регулятором и без

Снимем характеристики переходного процесса для ПХС:

- установившееся значение: $y(+\infty) = -0,00000013683027$;
- время переходного процесса: $t_{\text{пп}} = 56.8136$;
- статическая ошибка: $y_{\text{co}} = y(+\infty) - y(t_{\text{пп}}) = 0,0000149744935$;

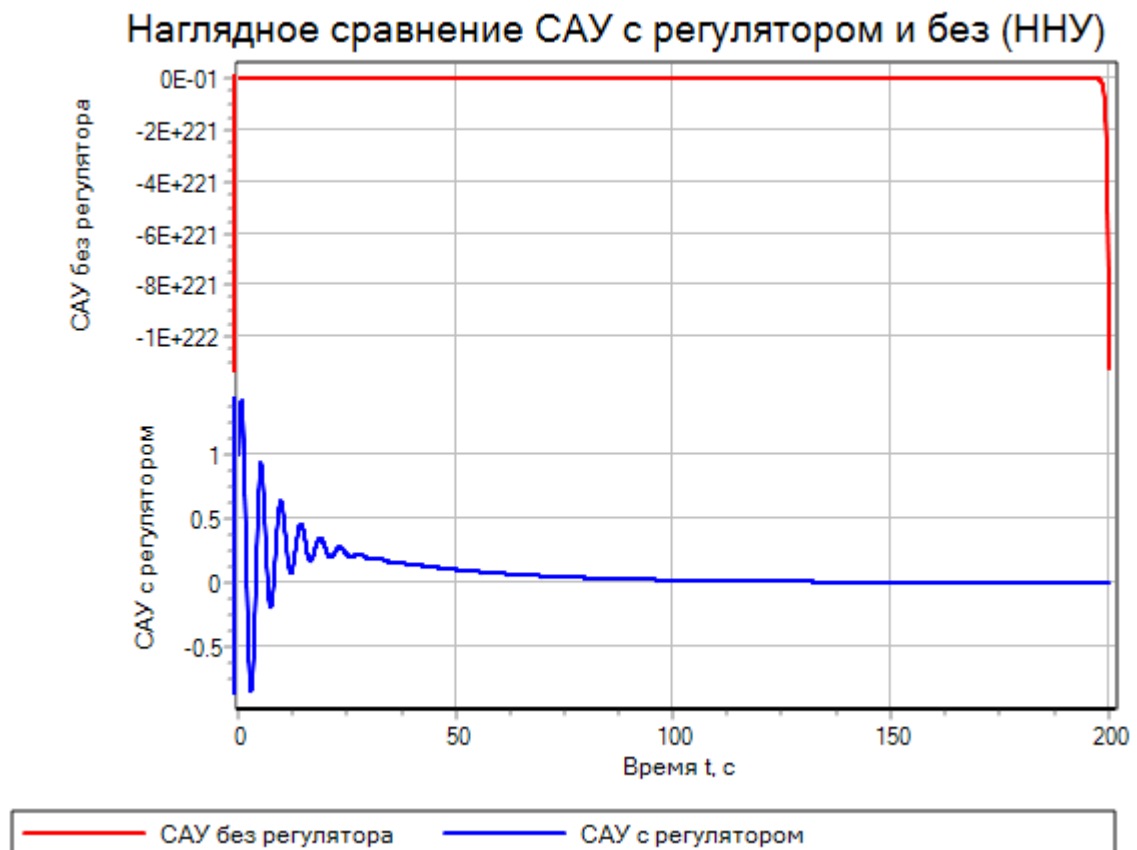


Рис. 36 – Реакция на ненулевые начальные условия САУ с регулятором и без ($x_0 = [1 \ 5 \ 3 \ 2]$)

Снимем характеристики переходного процесса для ПХС:

- установившееся значение: $y(+\infty) = 0,000739784569042085$;
- время переходного процесса: $t_{\text{пп}} = 46.5288$;
- статическая ошибка: $y_{\text{со}} = y(+\infty) - y(t_{\text{пп}}) = -0,114044486251986$;

Графики САУ с регулятором в дискретном случае и в непрерывном случае сходятся к нулю, что показывает успешность сформированного регулятора, за исключением того, что время переходного процесса значительно выше, чем ожидалось. Статическая ошибка же в свою очередь в среднем удовлетворяет нашим требованиям.

4. Наблюдатель

4.1. Теория

В общем случае вектор состояния x недоступен для считывания. Тем не менее в модальном и оптимальном регуляторах использовалось линейное управление вида

$$u_y = k_p^T x, \quad (4.1.1)$$

которое явно требует этот вектор. Поэтому возникает новая задача восстановления вектора состояния \tilde{x} , который должен выполнять следующее условие:

$$\begin{aligned} e(t) = x(t) - \tilde{x}(t) &\rightarrow 0 \text{ при } t \rightarrow +\infty, \\ e_k = x_k - \tilde{x}_k &\rightarrow 0 \text{ при } k \rightarrow +\infty, \end{aligned} \quad (4.1.2)$$

где e – ошибка наблюдателя.

Пусть изначально доступны ОУ в виде чёрного ящика и все матрицы из модели. МПС в полном виде нам дана, но таким образом мы можем получить только общее решение, ведь не заданы начальные условия. Тем не менее нам даны входные воздействия в виде входного вектора u , и реакция ОУ в виде выходного вектора y . Эти данные позволяют собрать новое устройство – наблюдатель, – задача которого будет по векторам u и y восстанавливать \tilde{x} , используя доступные параметры ОУ:

$$\begin{aligned} \dot{\tilde{x}}(t) &= A\tilde{x}(t) + Bu(t) + LCe(t), \\ \tilde{x}_{k+1} &= A_d\tilde{x}_k + B_d u_k + L_d C e_k. \end{aligned} \quad (4.1.3)$$

Данный наблюдатель предложен Люенбергером, поэтому носит его имя. При выполнении условия (4.1.2), уравнение (4.1.3) будет стремиться к первому уравнению МПС, т.е. восстановленный вектор \tilde{x} можно считать адекватным, чтобы описать модель.

Ранее мы уже проходили понятие наблюдаемости, к которому привязан ранговый критерий наблюдаемости. Если он выполняется, то для восстановления вектора состояния наблюдателю понадобится конечное время.

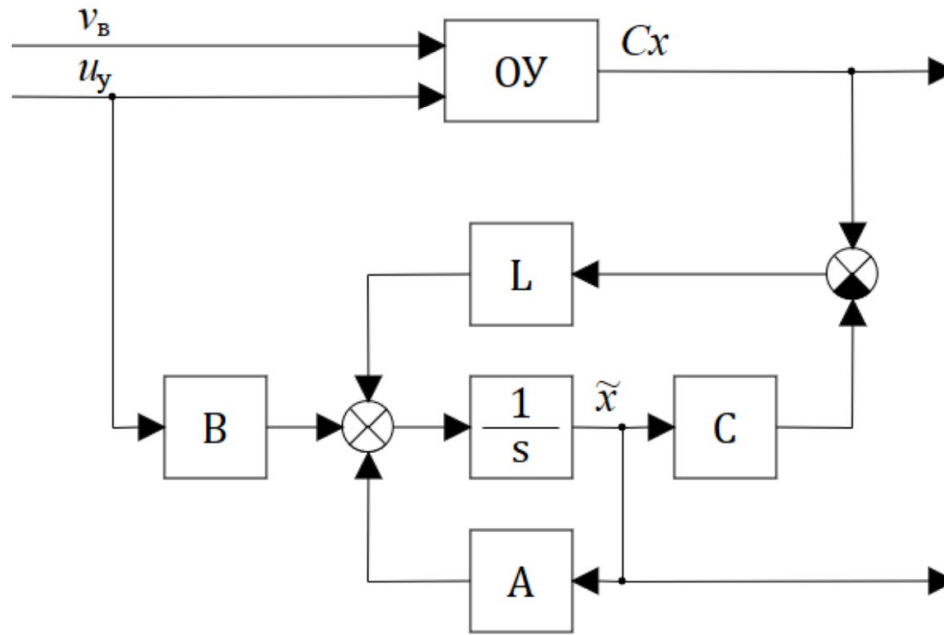


Рис. 36 – Структура наблюдателя Люенбергера (на данной схеме опущена матрица D , т.к. при расчёте выходного сигнала на правом сумматоре они бы и так сокращались).

4.2. Переход к канонической форме

МПС называется моделью в канонической форме Фробениуса, если матрица A и вектор при управляющем воздействии b имеют следующий вид:

$$\hat{A} = \begin{pmatrix} 0_{n-1} & | & E_{n-1} \\ -a_n & \dots & -a_1 \end{pmatrix} = I_n^{(1)} - e_n a^T, \hat{b} = e_n, \quad (4.2.1)$$

где $I_n^{(1)}$ – матрица с единицами над главной диагональю, $e_n = (0 \dots 0 \ 1)^T$, a – коэффициенты характеристического многочлена ОУ.

Переход к канонической форме Фробениуса делается через замену переменных:

$$x = Q \hat{x}, \quad (4.2.2)$$

где матрицу Q ищут из выражения

$$Q = S_y T, \quad (4.2.3)$$

где S_y – матрица управляемости, T – матрица, составленная из коэффициентов характеристического многочлена ОУ:

$$T = \begin{pmatrix} a_{n-1} & a_{n-2} & \dots & a_1 & 1 \\ a_{n-2} & a_{n-3} & \dots & 1 & 0 \\ \vdots & \vdots & \ddots & \vdots & \vdots \\ a_1 & 1 & \dots & \ddots & 0 \\ 1 & 0 & \dots & 0 & 0 \end{pmatrix}. \quad (4.2.4)$$

Теперь можно преобразовать модель к новой системе координат:

$$\left. \begin{aligned} Q\dot{\hat{x}}(t) &= AQ\hat{x}(t) + Bu(t) \\ \dot{\hat{x}}(t) &= Q^{-1}AQ\hat{x}(t) + Q^{-1}Bu(t) \\ \dot{\hat{x}}(t) &= \hat{A}(t) + \hat{B}u(t) \end{aligned} \right| \begin{aligned} Q_{\text{д}}\hat{x}_{k+1} &= A_{\text{д}}Q_{\text{д}}\hat{x}_k + B_{\text{д}}u_k \\ \hat{x}_{k+1} &= Q_{\text{д}}^{-1}A_{\text{д}}Q_{\text{д}}\hat{x}_k + Q_{\text{д}}^{-1}B_{\text{д}}u_k \\ \hat{x}_{k+1} &= \hat{A}_{\text{д}}\hat{x}_k + \hat{B}_{\text{д}}u_k \end{aligned} \quad (4.2.5)$$

Коэффициенты характеристического уравнения ОУ были вычислены ранее:

$$\begin{aligned} a_0 &= 0, a_1 = 0, a_2 = -6.615606936, a_3 = 0, a_4 = 1, \\ a_0^{\text{д}} &= 1, a_1^{\text{д}} = -4.153026, a_2^{\text{д}} = 6.30605, a_3^{\text{д}} = -4.15302, a_4^{\text{д}} = 1. \end{aligned} \quad (4.2.6)$$

Вычислим матрицы T для непрерывной и дискретной моделей:

$$\begin{aligned} T &= \begin{pmatrix} a_3 & a_2 & a_1 & 1 \\ a_2 & a_1 & 1 & 0 \\ a_1 & 1 & 0 & 0 \\ 1 & 0 & 0 & 0 \end{pmatrix} = \begin{pmatrix} 0 & -6.6156 & 0 & 1 \\ -6.6156 & 0 & 1 & 0 \\ 0 & 1 & 0 & 0 \\ 1 & 0 & 0 & 0 \end{pmatrix}, \\ T_{\text{д}} &= \begin{pmatrix} a_3^{\text{д}} & a_2^{\text{д}} & a_1^{\text{д}} & 1 \\ a_2^{\text{д}} & a_1^{\text{д}} & 1 & 0 \\ a_1^{\text{д}} & 1 & 0 & 0 \\ 1 & 0 & 0 & 0 \end{pmatrix} = \begin{pmatrix} -4.15302 & 6.30605 & -4.153026 & 1 \\ 6.30605 & -4.153026 & 1 & 0 \\ -4.153026 & 1 & 0 & 0 \\ 1 & 0 & 0 & 0 \end{pmatrix}. \end{aligned} \quad (4.2.7)$$

Вычислим матрицы Q для непрерывной и дискретной моделей:

$$\begin{aligned} Q &= S_y T = \begin{pmatrix} -0.018901 & 0 & 0.00289017 & 0 \\ 0 & 0 & -0.00192678 & 0 \\ 0 & -0.0189 & 0 & 0.00289017 \\ 0 & 0 & 0 & -0.00192678 \end{pmatrix}, \\ Q_{\text{д}} &= S_{y_{\text{д}}} T_{\text{д}} = \begin{pmatrix} 3.312e-05 & -3.814e-05 & -3.814e-05 & 3.313e-05 \\ -2.197e-05 & 2.197e-05 & 2.198e-05 & -2.198e-05 \\ -0.000438 & 0.001382 & -0.00138 & 0.0004384 \\ 0.0002944 & -0.0008833 & 0.000883 & -0.0002944 \end{pmatrix}. \end{aligned} \quad (4.2.8)$$

Вычислим матрицы \hat{A} для непрерывной и дискретной моделей:

$$\begin{aligned} \hat{A} &= Q^{-1}AQ = \begin{pmatrix} 0 & 1 & 0 & 0 \\ 0 & 0 & 1 & 0 \\ 0 & 0 & 0 & 1 \\ 0 & 0 & 6.616 & 0 \end{pmatrix}, \\ \hat{A}_{\text{д}} &= Q_{\text{д}}^{-1}A_{\text{д}}Q_{\text{д}} = \begin{pmatrix} 7.5495e-15 & 0.999 & 0 & -2.22e-15 \\ -2.145e-06 & -1.066e-14 & 0.9999 & 1.776e-15 \\ -2.619e-06 & -1.776e-14 & 0 & 1 \\ -0.999 & 4.153 & -6.306 & 4.15302 \end{pmatrix} \end{aligned} \quad (4.2.9)$$

Вычислим матрицы \hat{B} для непрерывной и дискретной моделей:

$$\begin{aligned} \hat{B} &= Q^{-1}B = (0 \quad 0 \quad 0 \quad 1)^T \\ \hat{B}_{\text{д}} &= Q_{\text{д}}^{-1}B_{\text{д}} = (-8.65e-06 \quad 0.000171 \quad 0.0114 \quad 0.1528)^T \end{aligned} \quad (4.2.10)$$

4.3. Построение модального регулятора и наблюдателя

Выберем желаемые собственные числа для модальных регуляторов, как в п. 2.1:

$$\lambda^{\text{уст}} = \begin{pmatrix} -1 \\ -2 \\ -1.5 \\ -0.5 \end{pmatrix}, \lambda_d^{\text{уст}} = \begin{pmatrix} 0.859761 \\ 0.73919 \\ 0.7971 \\ 0.9272 \end{pmatrix} \quad (4.3.1)$$

Вычислим коэффициенты их характеристических многочленов:

$$\begin{aligned} a^{\text{уст}} &= (1 \quad 5 \quad 8.75 \quad 6.25 \quad 1.5), \\ a_d^{\text{уст}} &= (1 \quad -3.33385 \quad 4.132 \quad -2.2778 \quad 0.469776). \end{aligned} \quad (4.3.2)$$

Выберем желаемые собственные числа для наблюдателей:

$$\lambda^{\text{н}} = \begin{pmatrix} -1.5 \\ -2.5 \\ -2 \\ -1 \end{pmatrix}, \lambda_d^{\text{н}} = \begin{pmatrix} 0.79719 \\ 0.6854 \\ 0.73919 \\ 0.85976 \end{pmatrix} \quad (4.3.3)$$

Вычислим коэффициенты их характеристических многочленов:

$$\begin{aligned} a^{\text{н}} &= (1 \quad 7 \quad 17.75 \quad 19.25 \quad 7.5), \\ a_d^{\text{н}} &= (1 \quad -3.0815 \quad 3.552 \quad -1.816 \quad 0.34725). \end{aligned} \quad (4.3.4)$$

Вычислим матрицы $Q_{\text{н}}$ для непрерывной и дискретной моделей:

$$\begin{aligned} Q_{\text{н}} = S_{\text{н}} T &= \begin{pmatrix} 0 & -6.6156 & 0 & 1 \\ 0 & -0.1134 & 0 & 0 \\ -6.6156 & 0 & 1 & 0 \\ -0.1134 & 0 & 0 & 0 \end{pmatrix}, \\ Q_{\text{нд}} = S_{\text{нд}} T_{\text{д}} &= \begin{pmatrix} -0.999 & 3.153 & -3.153 & 1 \\ 0.00131 & 5.652e-11 & -0.00131 & 0 \\ 0.1511 & -0.3254 & 0.15113 & 0 \\ -6.5747e-05 & -0.000265 & -6.575e-05 & 0 \end{pmatrix}. \end{aligned} \quad (4.3.5)$$

Вычислим параметры модальных регуляторов k_p для непрерывной и дискретной моделей:

$$\begin{aligned} k_p &= (Q^T)^{-1}(a - a^{\text{уст}}) = (79.358 \quad 8093.79 \quad 330.66 \quad 3090.98)^T, \\ k_{pd} &= (Q_d^T)^{-1}(a_d - a_d^{\text{уст}}) = (53.78 \quad 6893.9 \quad 229.059 \quad 2650.3)^T. \end{aligned} \quad (4.3.6)$$

Вычислим параметры наблюдателей L для непрерывной и дискретной моделей:

$$\begin{aligned} L &= -(Q_{\text{н}}^T)^{-1}(a - a^{\text{н}}) = (7 \quad -578.07 \quad 24.3656 \quad -1487.458)^T, \\ L_d &= -(Q_{\text{нд}}^T)^{-1}(a_d - a_d^{\text{н}}) = (1.071472 \quad -78.582 \quad 3.36456 \quad -202.15)^T. \end{aligned} \quad (4.3.7)$$

Вычислим матрицы A_z непрерывной и дискретной САУ с регуляторами и наблюдателями:

$$\begin{aligned}
A_z &= \begin{pmatrix} A + b_y k^T & -b_y k^T \\ 0_{n \times n} & A - LC \end{pmatrix} = \\
&= \begin{pmatrix} 0 & 0 & 1 & 0 & 0 & 0 & 0 & 0 \\ 0 & 0 & 0 & 1 & 0 & 0 & 0 & 0 \\ 0.229 & 23.28 & 0.956 & 8.93 & -0.23 & -23.4 & -0.95 & -8.93 \\ -0.153 & -8.98 & -0.64 & -5.96 & 0.15 & 15.6 & 0.64 & 5.96 \\ 0 & 0 & 0 & 0 & -7 & 0 & 1 & 0 \\ 0 & 0 & 0 & 0 & 578 & 0 & 0 & 1 \\ 0 & 0 & 0 & 0 & -24.4 & -0.11 & 0 & 0 \\ 0 & 0 & 0 & 0 & 1487 & 6.616 & 0 & 0 \end{pmatrix}, \\
A_{z_d} &= \begin{pmatrix} A_d + b_{y_d} k_{p_d}^T & -b_{y_d} k_{p_d}^T \\ 0_{n \times n} & A_d - L_d C \end{pmatrix} = \\
&= \begin{pmatrix} 1.001 & 0.23 & 0.15 & 0.088 & -0.002 & -0.23 & -0.0076 & -0.088 \\ -0.001 & 0.93 & -0.005 & 0.097 & 0.001 & 0.15 & 0.005 & 0.058 \\ 0.023 & 3 & 1.1 & 1.16 & -0.023 & -3 & -0.1 & -1.16 \\ -0.015 & -1 & -0.067 & 0.29 & 0.016 & 2.03 & 0.067 & 0.78 \\ 0 & 0 & 0 & 0 & -0.071 & -0.001 & 0.151 & -6 * 10^{-5} \\ 0 & 0 & 0 & 0 & 78.58 & 1.077 & 0 & 0.155 \\ 0 & 0 & 0 & 0 & -3.36 & -0.0175 & 1 & -0.0013 \\ 0 & 0 & 0 & 0 & 202.1 & 1.025 & 0 & 1.08 \end{pmatrix}.
\end{aligned} \tag{4.3.8}$$

Вычислим собственные числа матриц A_z :

$$\lambda(A_z) = \begin{pmatrix} -1.99 \\ -1.5 \\ -0.5 \\ -0.999 \\ -1 \\ -1.49 \\ -2 \\ -2.5 \end{pmatrix}, \tag{4.3.9}$$

$$\lambda(A_{z_d}) = (0.927 \quad 0.8578 \quad 0.7995 \quad 0.7383 \quad 0.86 \quad 0.79 \quad 0.74 \quad 0.68)^T.$$

Полученные собственные числа совпадают с желаемыми.

Поскольку в нашем случае в исходной модели нет внешнего возмущения, введем фиктивное возмущение $b_b = b_y = B$.

Вычислим матрицы b_z непрерывной и дискретной САУ с регуляторами и наблюдателями:

$$\begin{aligned}
b_z &= \begin{pmatrix} b_b \\ 0_{n \times m_b} \end{pmatrix} = (0 \quad 0 \quad 0.00289 \quad -0.0019 \quad 0 \quad 0 \quad 0 \quad 0)^T, \\
b_{z_d} &= \begin{pmatrix} b_{b_d} \\ 0_{n \times m_b} \end{pmatrix} = (3.3e - 05 \quad -2.2e - 05 \quad 0.00043 \quad -0.00029 \quad 0 \quad 0 \quad 0 \quad 0)^T.
\end{aligned} \tag{4.3.10}$$

где m_b – количество возмущающих воздействий.

Таким образом, мы получили модель САУ с регулятором и наблюдателем:

$$\begin{cases} \dot{z} = A_z z + b_z v_b, \\ y = C_z z + d_b v_b; \end{cases} \tag{4.3.11}$$

$$\begin{cases} z_{k+1} = A_{zД} z_k + b_{zД} v_B, \\ y_k = C_z z_k + d_B v_B; \end{cases}$$

$$C_z = (C \quad 0_{1 \times n}).$$

Код в программе matlab для данной главы:

```

1 - clc
2 - n=4
3 - A=[0 0 1 0;0 0 0 1;0 -0.1134104046 0 0;0 6.615606936 0 0];
4 - b=[0; 0; 0.00289017; -0.00192678];
5 - Ad = [
6 -     1.0, -0.00131165, 0.1511355, -0.00006574791;
7 -     0, 1.076513, 0, 0.1549708;
8 -     0, -0.0175753, 1.0, -0.00131165;
9 -     0, 1.025226, 0, 1.076513;
10 - ];
11 - bd = [
12 -     0.000033126;
13 -     -0.000021975;
14 -     0.00043842;
15 -     -0.00029444
16 - ];
17 -
18 - C=[1 0 0 0];
19 - Cd=[1 0 0 0];
20 - h = 0.1511;
21 - lambda_ust = [-1, -2, -1.5, -0.5];
22 - lambda_ust_d = exp(lambda_ust * h);
23 -
24 - T = [0 -6.615606936 0 1;
25 -     -6.615606936 0 1 0;
26 -     0 1 0 0;
27 -     1 0 0 0];
28 -
29 - Td = [-4.15302 6.30605 -4.153026 1;
30 -     6.30605 -4.153026 1 0;
31 -     -4.153026 1 0 0;
32 -     1 0 0 0];
33 -
34 - S_y = [b, A*b, A^2*b, A^3*b];
35 - Sd_y = [bd, Ad*bd, Ad^2*bd, Ad^3*bd];
36 -
37 - S_n = [C', A'*C', A'^2*C', A'^3*C'];
38 - S_n_d = [Cd', Ad'*Cd', Ad'^2*Cd', Ad'^3*Cd'];
39 -
40 - lambda_n = lambda_ust - 0.5;
41 - lambda_n_d = exp(lambda_n * h);
42 -
43 - a = poly(A);
44 - ad = poly(Ad);
45 - a_ust = poly(lambda_ust);
46 - a_ust_d = poly(lambda_ust_d);

```

Рис. 37 – Код в программе matlab

```

48 - a_n = poly(lambda_n);
49 - a_n_d = poly(lambda_n_d);
50
51 - Q = S_y * T
52
53 - Qd = Sd_y * Td
54
55 - Q_n = S_n * T
56 - Q_n_d = S_n_d * Td
57
58 - A_kanon = Q^-1 * A * Q
59 - Ad_kanon = Qd^-1 * Ad * Qd
60
61 - b_kanon = Q^-1 * b
62 - bd_kanon = Qd^-1 * bd
63
64 - k_p = Q'^-1 * (a(end:-1:2) - a_ust(end:-1:2))'
65 - k_p_d = Qd'^-1 * (ad(end:-1:2) - a_ust_d(end:-1:2))'
66
67 - L = -Q_n'^-1 * (a(end:-1:2) - a_n(end:-1:2))'
68 - L_d = -Q_n_d'^-1 * (ad(end:-1:2) - a_n_d(end:-1:2))'
69
70 - A_z = [A + b * k_p', -b * k_p'
71         zeros(n), A - L * C]
72 - b_z = [b; zeros(n, 1)]
73 - C_z = [C, zeros(1, n)]
74 - A_z_d = [Ad + bd * k_p_d', -bd * k_p_d'
75           zeros(n), Ad - L_d * C]
76 - b_z_d = [bd; zeros(n, 1)]
77
78 - eig_A_z = eig(A_z)
79 - eig_A_z_d = eig(A_z_d)

```

Рис. 38 – Код в программе matlab продолжение

4.4. Исследование непрерывной САУ

Построим модель непрерывной САУ с регулятором и с регулятором и наблюдателем в SimInTech:

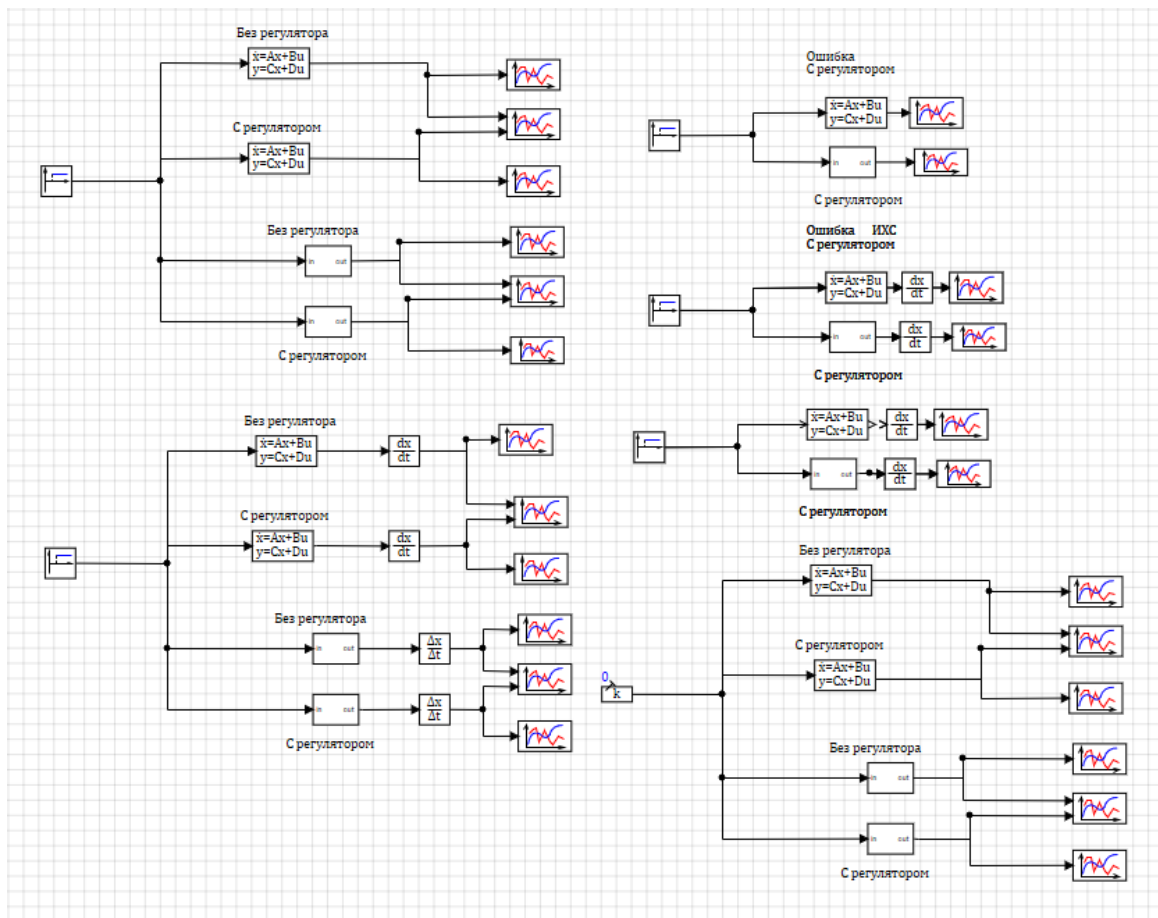


Рисунок 39 – Схема модели непрерывной САУ с регулятором и с регулятором и наблюдателем

В результате моделирования получим графики переходной характеристики системы (ПХС), импульсной характеристики системы (ИХС), реакции системы на ненулевые начальные условия (ННУ) и точки равновесия системы (ТРС).

Для ПХС и ИХС был выбран следующий вектор начальных ошибок наблюдателя: $e^0 = (0.000001 \ 0.000001 \ 0.000001 \ 0.000001)^T$.

Рассмотрим графики ПХС:

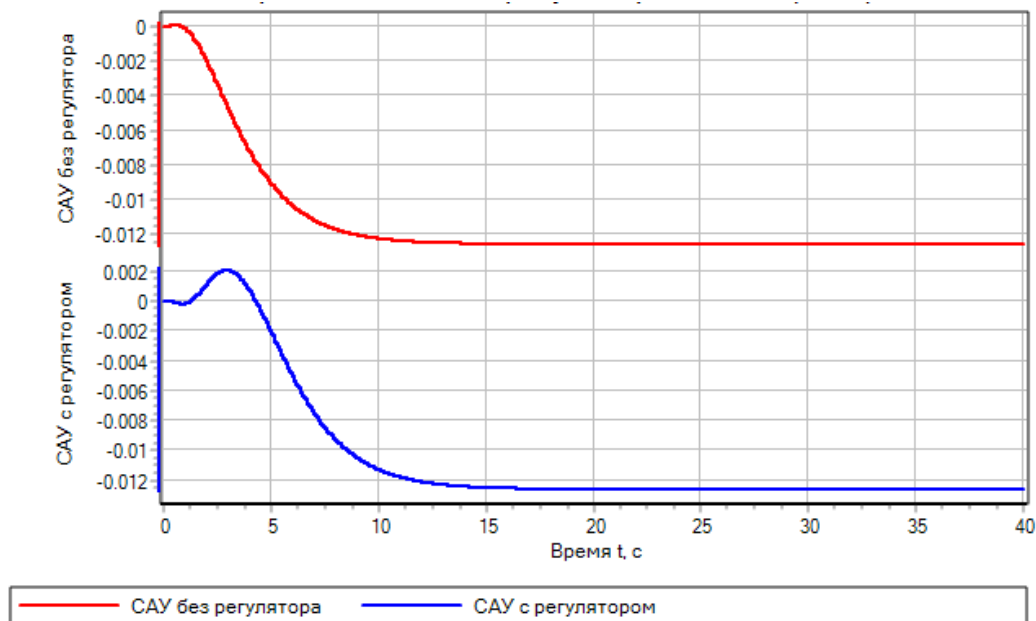


Рисунок 40 – Графики ПХС непрерывной САУ с наблюдателем и без наблюдателя

Снимем характеристики переходного процесса:

- установившееся значение: $y(+\infty) = -0,01260114077$;
- время переходного процесса: $t_{пп} = 8,63$ с;
- статическая ошибка: $y_{co} = y(+\infty) - y(t_{пп}) = 0,0126011407739362$;
- максимальное значение амплитуды: $A_{max} = 0,002$.

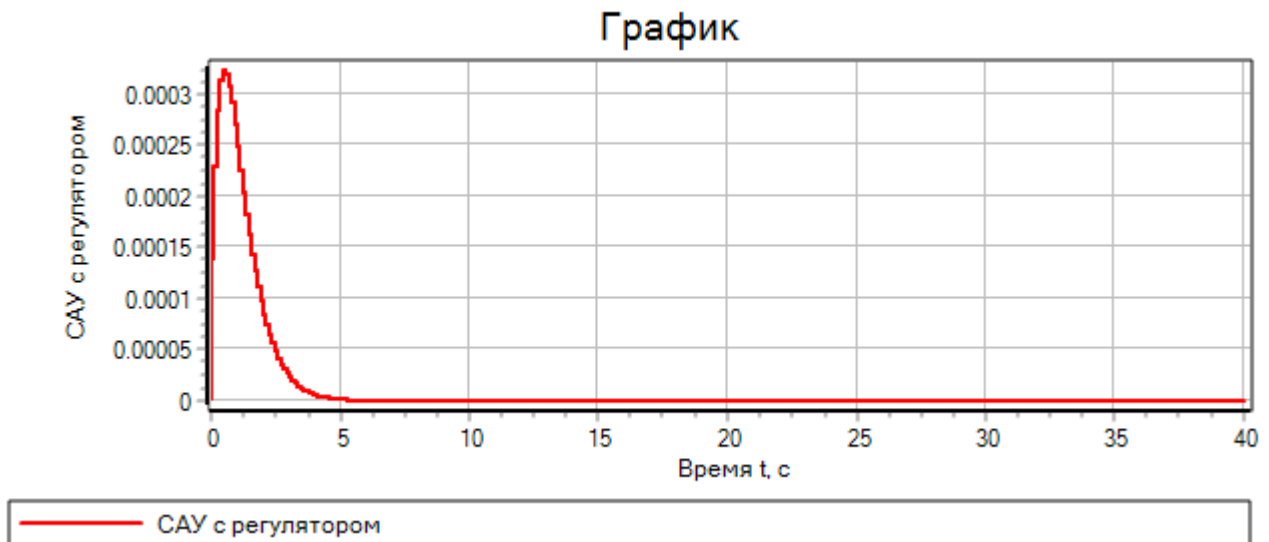


Рисунок 41 – График ПХС для ошибки наблюдателя выходной компоненте вектора состояний
непрерывной САУ с наблюдателем

Снимем характеристики переходного процесса:

- установившееся значение: $y(+\infty) = 0$;
- время переходного процесса: $t_{\text{пп}} = 1.574$ с;
- статическая ошибка: $y_{\text{co}} = y(+\infty) - y(t_{\text{пп}}) = -0,00016162452079$;
- максимальное значение амплитуды: $A_{\text{max}} = 0,00032324904158$.

Рассмотрим графики ИХС:

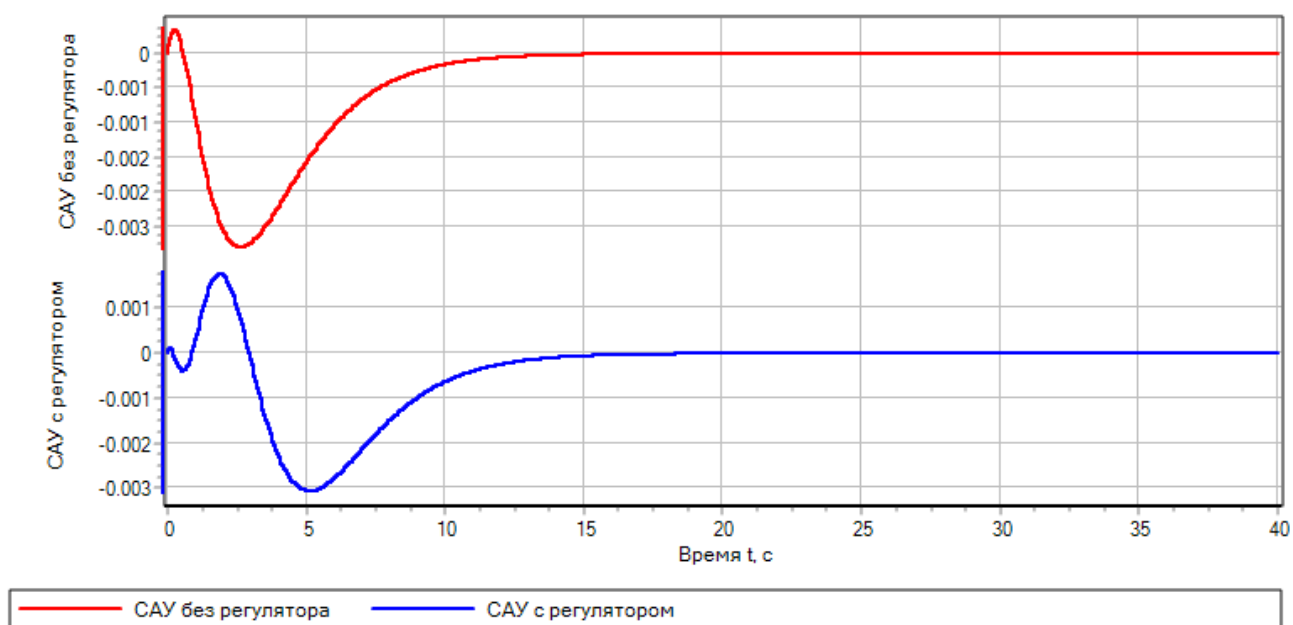


Рисунок 42 – Графики ИХС непрерывной САУ с наблюдателем и без наблюдателя

Снимем характеристики переходного процесса:

- установившееся значение: $y(+\infty) = 0$;
- время переходного процесса: $t_{\text{пп}} = 6,622 \text{ с}$;
- статическая ошибка: $y_{\text{co}} = y(+\infty) - y(t_{\text{пп}}) = 0,000241272125$;
- максимальное значение амплитуды: $A_{\text{max}} = -0,003059$.

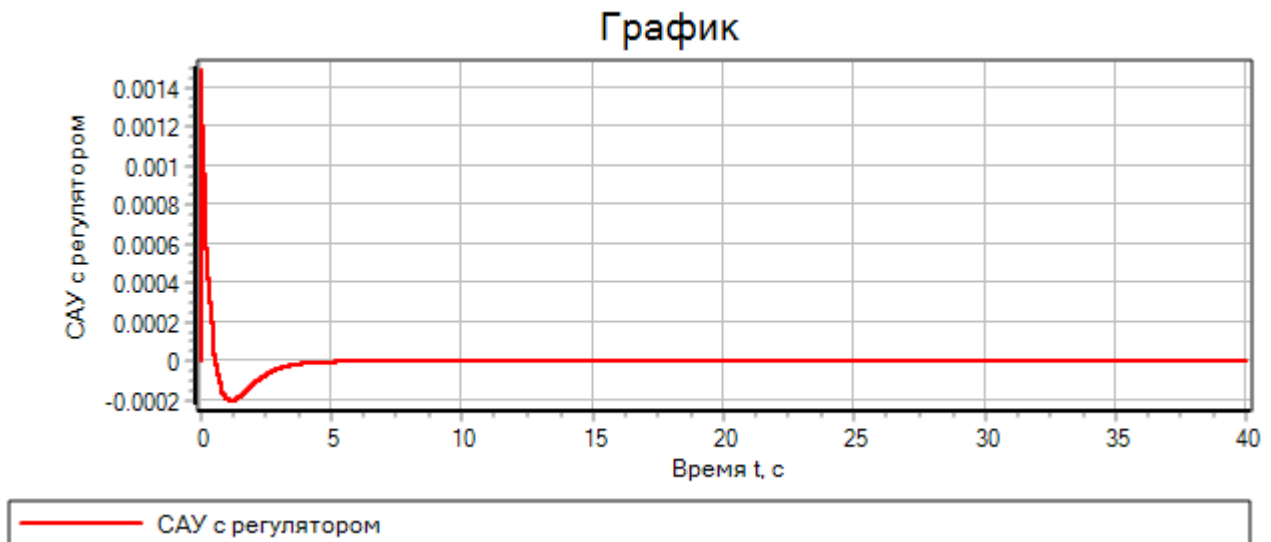


Рисунок 43 – График ИХС для ошибки наблюдателя по выходной компоненте вектора состояний непрерывной САУ с наблюдателем

Снимем характеристики переходного процесса:

- установившееся значение: $y(+\infty) = 0$;
- время переходного процесса: $t_{\text{пп}} = 2,385$ с;
- статическая ошибка: $y_{\text{co}} = y(+\infty) - y(t_{\text{пп}}) = 0,0000787583152295$;
- максимальное значение амплитуды: $A_{\text{max}} = 0,001491529$.

Рассмотрим графики ННУ:

Для ННУ был выбран следующий вектор начальных ошибок наблюдателя: $e^0 = (0.000001 \ 0.000001 \ 0.000001 \ 0.000001)^T$.

Были выбраны следующие ненулевые начальные условия: $x^0 = (5 \ 5 \ 5 \ 5)^T$.

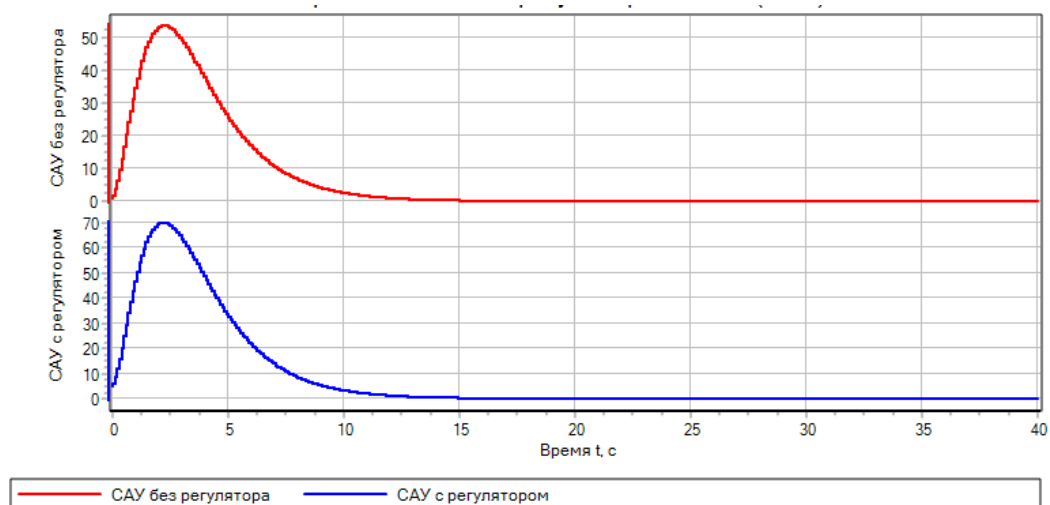


Рисунок 44 – Графики ННУ непрерывной САУ с наблюдателем и без наблюдателя

Снимем характеристики переходного процесса:

- установившееся значение: $y(+\infty) = 1,030184 \cdot 10^{-6}$;
- время переходного процесса: $t_{\text{пп}} = 2.555\text{с}$;
- статическая ошибка: $y_{\text{со}} = y(+\infty) - y(t_{\text{пп}}) = -69,79249701$;
- максимальное значение амплитуды: $A_{\text{max}} = 69,79249802$.

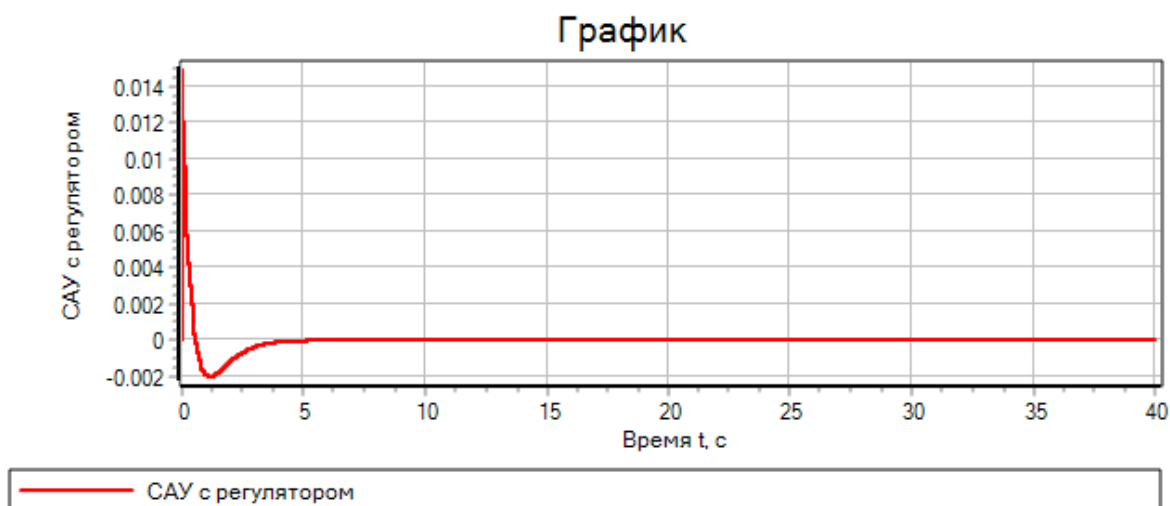


Рисунок 45 – График ННУ для ошибки наблюдателя по выходной компоненте вектора состояний непрерывной САУ с наблюдателем

Снимем характеристики переходного процесса:

- установившееся значение: $y(+\infty) = 0$;
- время переходного процесса: $t_{\text{пп}} = 2,321\text{ с}$;
- статическая ошибка: $y_{\text{со}} = y(+\infty) - y(t_{\text{пп}}) = 0,000846794795$;
- максимальное значение амплитуды: $A_{\text{max}} = -0,002020601957$.

4.5. Исследование дискретной САУ

Построим модель дискретной САУ с регулятором и с регулятором и наблюдателем в SimInTech. В результате моделирования получим графики переходной характеристики системы (ПХС), импульсной характеристики системы (ИХС), реакции системы на ненулевые начальные условия (ННУ) и точки равновесия системы (ТРС).

Рассмотрим графики ПХС:

Для ПХС и ИХС был выбран тот же вектор начальных ошибок наблюдателя, что и в непрерывном случае: $e^0 = (0.00001 \ 0.00001 \ 0.00001 \ 0.00001)^T$.

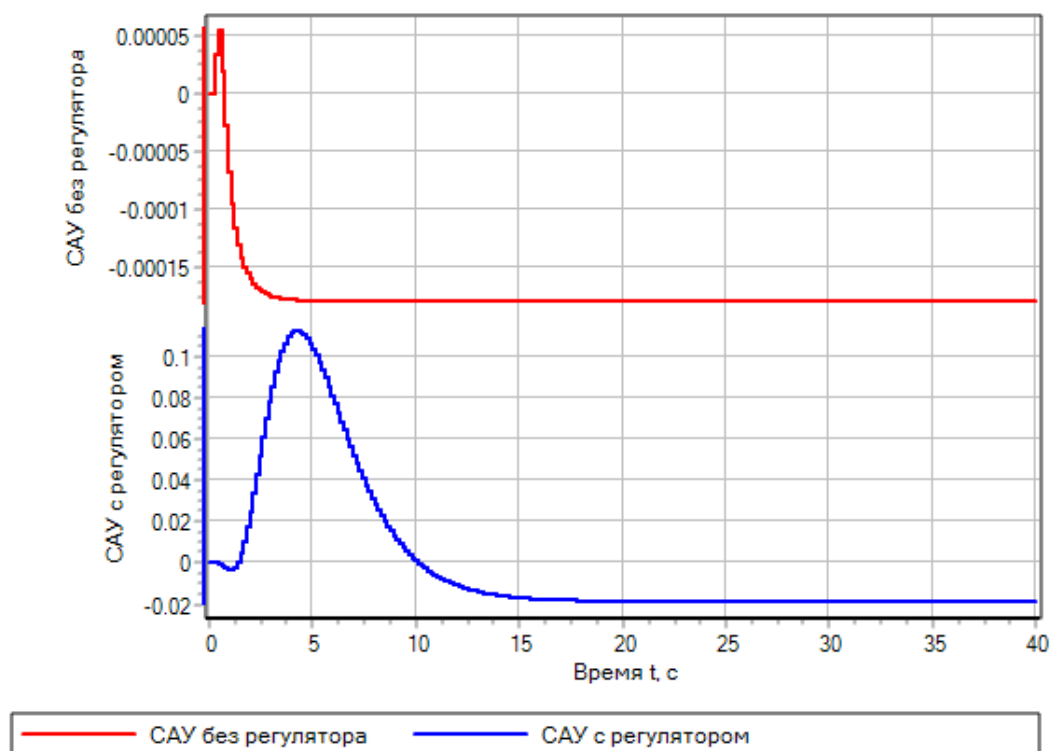


Рисунок 46 – Графики ПХС дискретной САУ с наблюдателем и без наблюдателя

Снимем характеристики переходного процесса:

- установившееся значение: $y(+\infty) = -0,01859404368$;
- время переходного процесса: $t_{\text{пп}} = 12,391$ с;
- статическая ошибка: $y_{\text{co}} = y(+\infty) - y(t_{\text{пп}}) = -0,0065600172907926$;
- максимальное значение амплитуды: $A_{\text{max}} = 0,1126063021$.

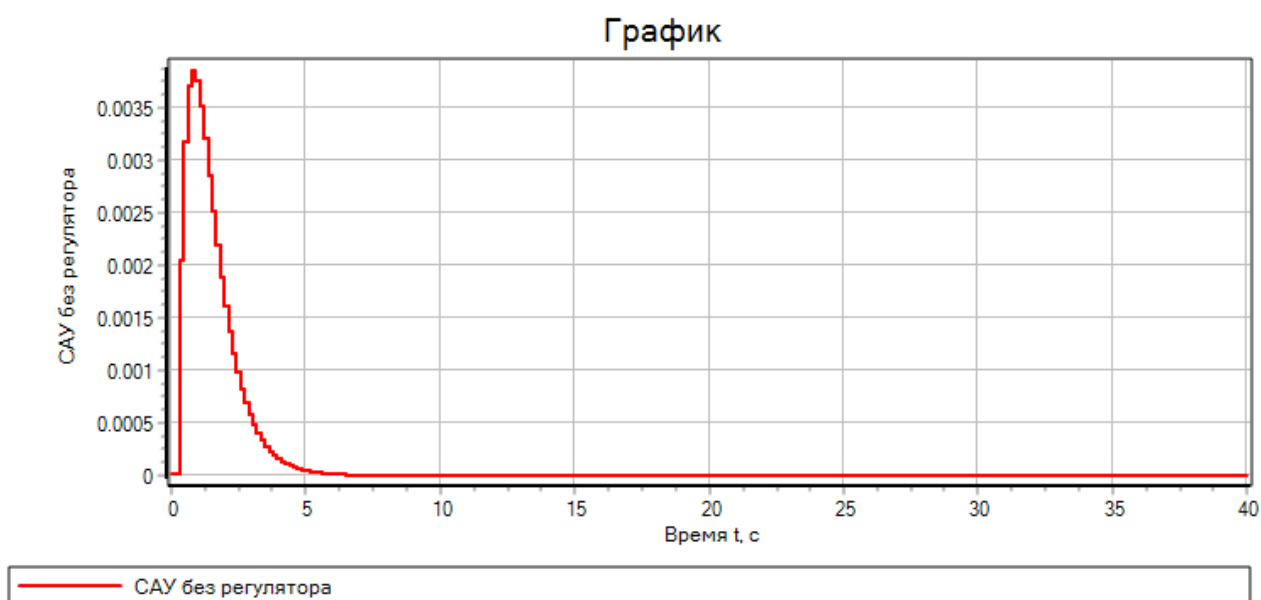


Рисунок 47 – График ПХС для ошибки наблюдателя выходной компоненте вектора состояний дискретной САУ с наблюдателем

Снимем характеристики переходного процесса:

- установившееся значение: $y(+\infty) = 0$;
- время переходного процесса: $t_{\text{пп}} = 3,929 \text{ с}$;
- статическая ошибка: $y_{\text{co}} = y(+\infty) - y(t_{\text{пп}}) = -0,0001926456$;
- максимальное значение амплитуды: $A_{\text{max}} = 0,003852912$.

Рассмотрим графики ИХС:

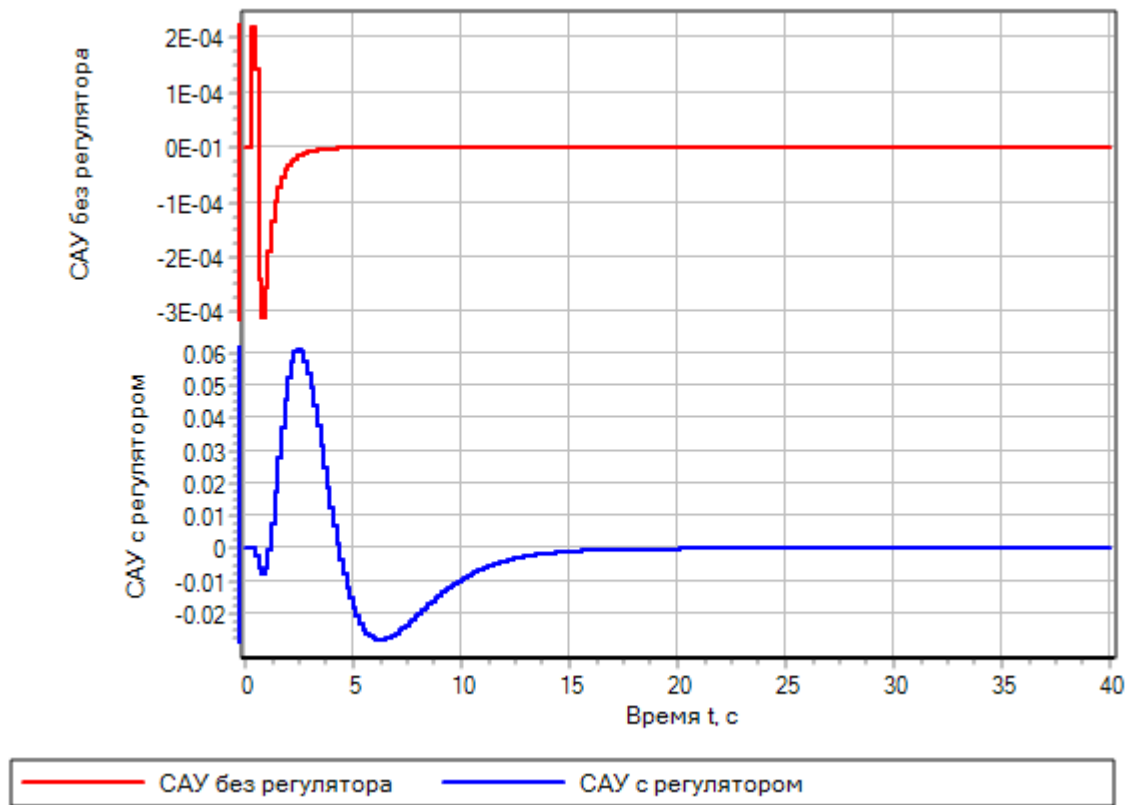


Рисунок 45 – Графики ИХС дискретной САУ с наблюдателем и без наблюдателя

Снимем характеристики переходного процесса:

- установившееся значение: $y(+\infty) = -3.88 * 10^{-9}$;
- время переходного процесса: $t_{\text{пп}} = 11,635 \text{ с}$;
- статическая ошибка: $y_{\text{co}} = y(+\infty) - y(t_{\text{пп}}) = 0,0044699671474$;
- максимальное значение амплитуды: $A_{\text{max}} = 0,061269997$.

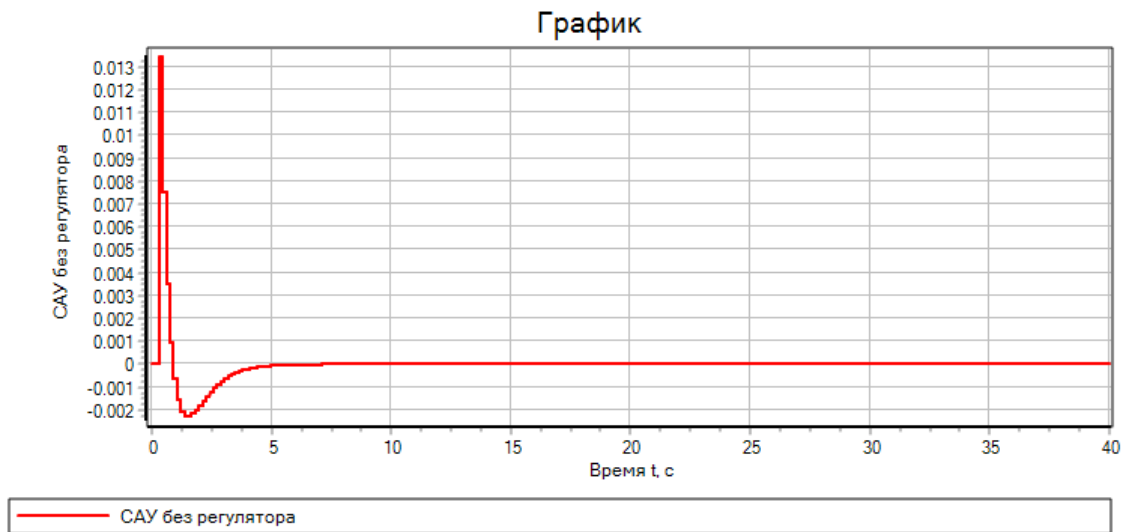


Рисунок 46 – График ИХС для ошибки наблюдателя по выходной компоненте вектора состояний дискретной САУ с наблюдателем

Снимем характеристики переходного процесса:

- установившееся значение: $y(+\infty) = -0,00180288326862$;
- время переходного процесса: $t_{\text{пп}} = 3,778$ с;
- статическая ошибка: $y_{\text{co}} = y(+\infty) - y(t_{\text{пп}}) = 0,00078631902659$;
- максимальное значение амплитуды: $A_{\text{max}} = 0,01345144294$.

Рассмотрим графики ННУ:

Для ННУ был выбран тот же вектор начальных ошибок наблюдателя, что и в непрерывном случае: $e^0 = (0.00001 \ 0.00001 \ 0.00001 \ 0.00001)^T$.

Были выбраны те же ненулевые начальные условия: $x^0 = (5 \ 5 \ 5 \ 5)^T$.

Наглядное сравнение САУ с регулятором и без (ННУ)

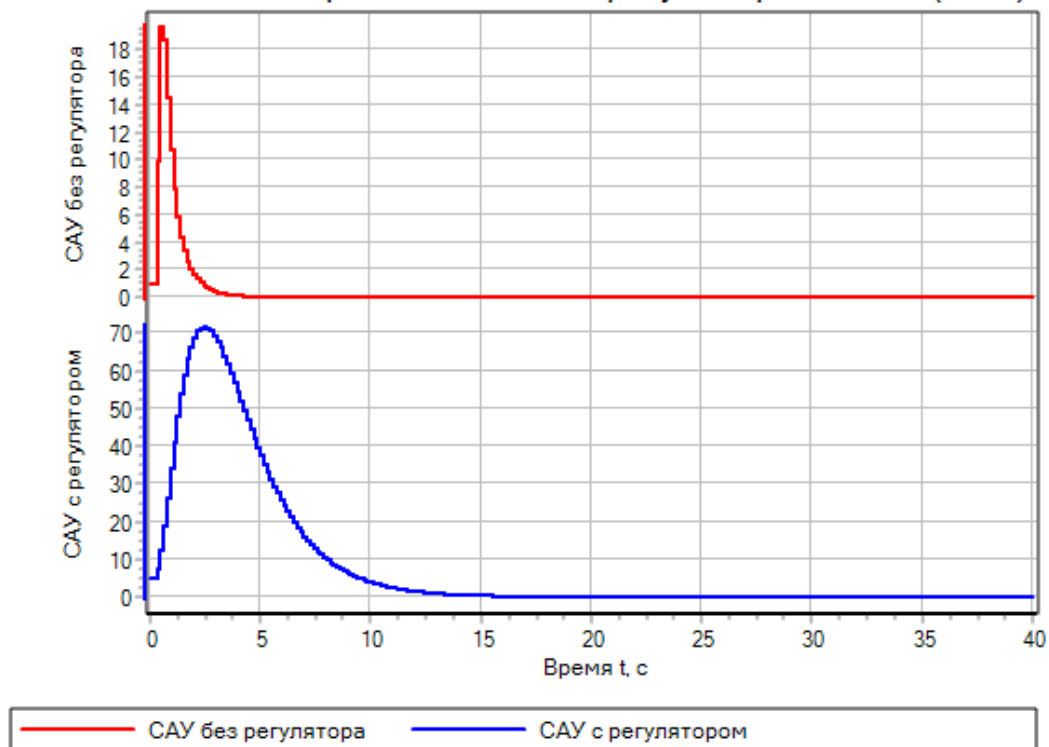


Рисунок 47 – Графики ННУ дискретной САУ с наблюдателем и без наблюдателя

Снимем характеристики переходного процесса:

- установившееся значение: $y(+\infty) = 1,3606163132 \cdot 10^{-6}$;
- время переходного процесса: $t_{пп} = 10,124 c$;
- статическая ошибка: $y_{co} = y(+\infty) - y(t_{пп}) = -3,5827393020335$;
- максимальное значение амплитуды: $A_{max} = 71,65478864$.

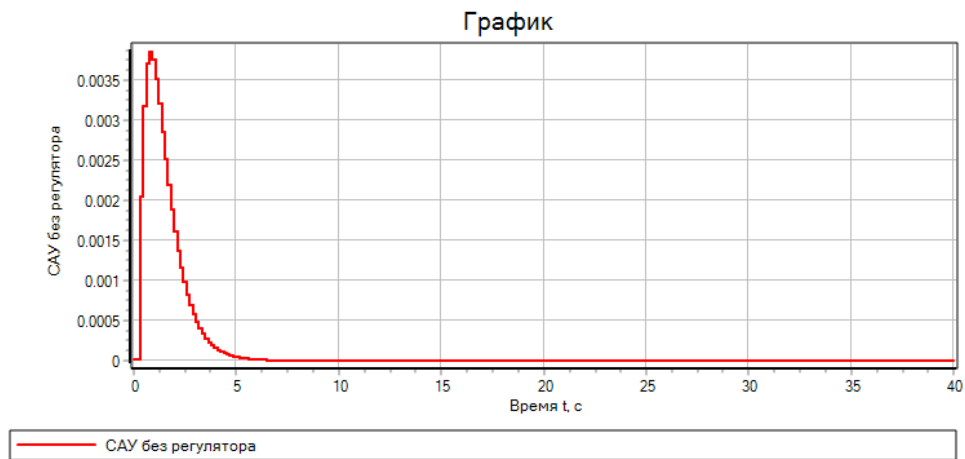


Рисунок 48 – График ННУ для ошибки наблюдателя по выходной компоненте вектора состояний дискретной САУ с наблюдателем

Снимем характеристики переходного процесса:

- установившееся значение: $y(+\infty) = 2,229 \cdot 10^{-20}$;
- время переходного процесса: $t_{\text{пп}} = 4,231$ с;
- статическая ошибка: $y_{\text{co}} = y(+\infty) - y(t_{\text{пп}}) = -0,0001926449999999999988855$;
- максимальное значение амплитуды: $A_{\text{max}} = 0,0038529$.